



INTERNATIONAL ATOMIC ENERGY AGENCY  
UNITED NATIONS EDUCATIONAL, SCIENTIFIC AND CULTURAL ORGANIZATION



INTERNATIONAL CENTRE FOR THEORETICAL PHYSICS  
34100 TRIESTE (ITALY) - P.O.B. 586 - MIRAMARE - STRADA COSTIERA 11 - TELEPHONE: 2240-1  
CABLE: CENTRATON - TELEX 460302-1

H4.SMR/204 - 31

WINTER COLLEGE ON

ATOMIC AND MOLECULAR PHYSICS

(9 March - 3 April 1987)

CHEMICAL KINETICS IN COMBUSTION SYSTEMS:  
THE SPECIFIC EFFECT OF ENERGY, COLLISIONS, AND  
TRANSPORT PROCESSES

J. Wolfrum

Physikalisch-Chemisches Institut  
Heidelberg  
West Germany

## CHEMICAL KINETICS IN COMBUSTION SYSTEMS: THE SPECIFIC EFFECT OF ENERGY, COLLISIONS, AND TRANSPORT PROCESSES

J. WOLFRUM

*Physikalisch-Chemisches Institut  
der Ruprecht-Karls-Universität  
D-6900 Heidelberg, Im Neuenheimer Feld 253  
and  
Max-Planck-Institut für Strömungsforschung  
D-3400 Göttingen, Böttingerstraße 6-8  
West-Germany*

Experimental results on the effect of selective translational and vibrational excitation of reactants in elementary combustion reactions using laser photolysis and time-resolved atomic line resonance absorption, laser-induced fluorescence and CARS spectroscopy are compared with the results of quasiclassical trajectory studies on ab initio potential surfaces and thermal rate parameters. Experimental data on collisional energy transfer from vibrationally highly excited polyatomic molecules and the pressure and temperature dependence of product formation in elementary combustion reactions with complex formation are discussed. Models for the prediction of transport coefficients in multicomponent mixtures, and recent model calculation and experiments on the coupling of chemical reactions and transport effects are presented.

### Introduction

It has been known, since the first use of fire by mankind,<sup>1</sup> that the rates of chemical reactions depend strongly on the energy of the reactants. Traditionally, the energy dependence of the chemical reaction rate is studied under conditions in which the rate of reaction is slow compared to that of collisional energy transfer. Under these conditions, the energy of the reactants is characterized by temperature. The temperature variation of the reaction rate can then often be expressed with sufficient accuracy by the Arrhenius equation. The Arrhenius parameters obtained in this way, however, contain no direct information on how the various degrees of freedom of the reacting molecules and in the "activated complex" contribute to the potential pathways of product formation in the chemical reaction. Investigations on the chemical reactivity under a wide range of conditions, such as pressure variation and specific excitation of the reactants, give important insights into the microscopic dynamics of the chemical reaction. This information, on one hand, can be compared with the results of theoretical predictions using potential energy surfaces for chemical reactions obtained by ab initio methods, and, on the other hand, is of basic interest in improving the kinetic data used in detailed chemical kinetic modelling of combustion processes. The experimental possibilities for the detailed study of elementary

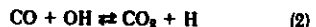
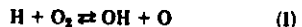
chemical reactions have expanded quite dramatically in recent years as a result of the development of various laser sources. The coherence, collimation, monochromaticity, polarization, tunability and short pulse duration of laser light sources now available in the infrared, visible, and ultraviolet region allow the preparation and detection of chemically reacting molecules with an unprecedented degree of selectivity.

The present paper cannot give a comprehensive compilation of experimental and theoretical results in this field. Instead, a number of typical examples is presented. The first part gives specific examples of experimental and theoretical investigations with selective translational and vibrational excitation of the reactants. The second part describes studies on the pressure and temperature dependence of elementary steps with complex formation and unimolecular dissociations pathways. In the last part, models for the prediction of transport coefficients are described, and a comparison between recent laser experiments and model calculations of ignition processes is made.

### The Effect of Translational Excitation

Despite the large number of elementary steps taking place even in the oxidation of simple hydrocarbons, the important parameters of the combus-

tion process are controlled by relatively few elementary reactions. As shown in Fig. 1, in the case of the oxidation of methane, ethane and butane, the flame velocities calculated by detailed chemical kinetic modelling are relatively insensitive to reactions specific for the oxidation of these molecules.<sup>2</sup> However, there is a strong influence on the calculated flame velocity by a number of unspecific reactions such as



At least in one direction considerable collision energies are necessary to surmount the reaction barrier in these elementary steps. The dynamics of such high barrier reactions can be studied in microscopic detail by combining translationally hot atom and radical formation by laser photolysis (forming reactants with initially high and monoenergetic collision energies) with time and state resolved product detection by laser-induced fluorescence spectroscopy.<sup>3-5</sup> The experimental apparatus is shown in Fig. 2. Fig. 3 gives nascent rotational state distributions for the reactions (1), (-2) and (-3) at relative collision energies around 250 kJ/mol. Despite of the comparable total reaction energies, the nascent OH ( $v = 0$ ) rotational distributions are quite different. The distribution is extremely hot from the  $\text{H} + \text{O}_2$  reaction, broadly peaked at rotational quantum numbers around  $K = 11$  in the  $\text{H} + \text{CO}_2$  case, and restricted to low values with only 3% of the total available energy partitioned into rotation for the  $\text{H} + \text{H}_2\text{O}$  system. The observed rotational energy distributions give interesting microscopic details on the molecular dynamics of these elemen-

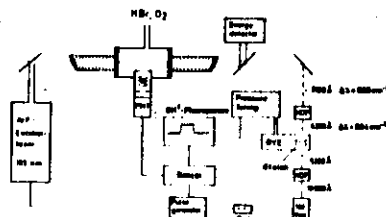


FIG. 2. Schematic of the experimental arrangement for the study of radical reactions with substantial threshold energies using UV-laser photolysis and time resolved product detection by laser induced fluorescence.

tary steps. Spin-orbit and orbital-rotation interactions in the OH radical cause fine-structure splittings for each rotational level. Each of these fine structure levels can be probed by different rotational sub-bands. As shown in Table I, the two OH spin states  $^2\Pi_{1/2}$  and  $^2\Pi_{3/2}$  are, within experimental error, equally populated. However, the A-doublet fine structure states show a clear preference for the lower energy  $\Pi'$  component. The experimental result shows that the break-up of the reaction complex generates forces in a plane containing the bond to be broken. OH rotates in that plane and  $\text{JOH}$  is perpendicular to it and to the broken bond. This picture is consistent only with a preferential planar exit channel in these reactions. This could also be directly demonstrated using polarized photolysis and analysis laser beams.<sup>6</sup>

Reaction (1) is known to take place adiabatically on the ground state potential surface of the  $\text{HO}_2$  ( $^2\text{A}'$ )-radical. Trajectory calculations<sup>7</sup> on an ab initio surface (Melius-Blint)<sup>8</sup> are in agreement with cal-

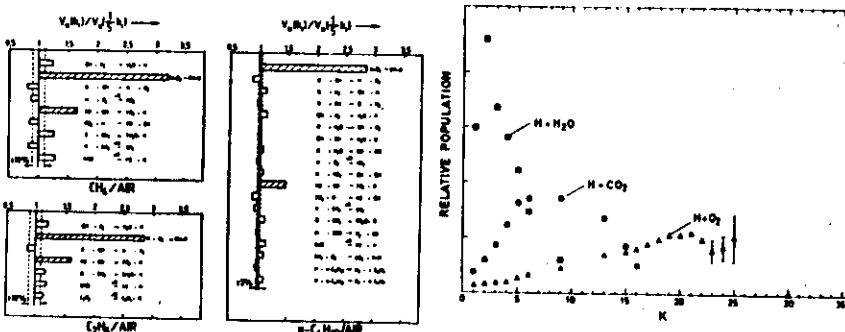


FIG. 3. Nascent rotational state distributions in OH ( $v = 0$ ) produced in the reactions (1), (-2) and (-3) at relative collision energies of 250 kJ/mol. K is the rotational quantum number.

TABLE I

Measured absolute reaction cross sections, vibrational and fine structure partitioning for rotational levels of OH produced in the reactions (1), (-2) and (-3)

	$\text{H} + \text{H}_2\text{O}$	$\text{H} + \text{CO}_2$	$\text{H} + \text{O}_2$
$E_{\text{coll}}^{\text{th}}$ [kcal/mol]	58.2	60.1	60.7
$\sigma(\text{Å}^2)$	$0.24 \pm 0.1$	$0.37 \pm 0.1$	$0.42 \pm 0.2$
$\sigma(v = 1)$	$\leq 0.1$	$\leq 0.1$	$0.47 \pm 0.15$
$\sigma(v = 0)$			
$\sigma(\Pi_{1/2})$			
$\sigma(\Pi_{3/2})$			
$\frac{\sigma(\Pi_{3/2})}{\sigma(\Pi_{1/2})}$	$1.1 \pm 0.2$	$1.2 \pm 0.2$	$1.2 \pm 0.2$
$\sigma(\Pi')$	$3.2 \pm 1.0$	$3.0 \pm 1.0$	$5.9 \pm 1.0$
$\sigma(\Pi'')$			

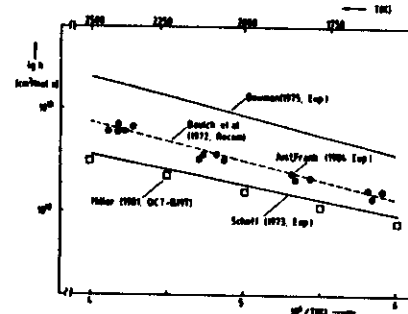
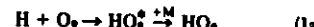


FIG. 4. Measured and calculated rate coefficients for reaction (1).

sociation of the  $\text{HO}_2$  in reaction (-1).<sup>15</sup> Calculations by Dunning et al.<sup>17</sup> reduce this barrier to less than 1.7 kJ/mol. Also, for reaction (-1) the Melius-Blint surface apparently overestimates the long range O—OH attraction,<sup>18</sup> whereas the Quack-Troe interpolation scheme<sup>19</sup> leads to better agreement with the experimental values at low temperatures.<sup>20</sup>

In summary, it is encouraging to see that recent microscopic and macroscopic experimental data start to give a more converging picture on this reaction which is central to all combustion modelling calculations. However, more work should be done on the potential energy surface used for this system. Further experiments should be directed to additional thermal rate data measurements in the high temperature range, and measurements of absolute reaction cross sections at different collision energies.

In reaction system (2), four atoms with a relatively large number of electrons are involved, making theoretical calculations more difficult. The three lowest electronic states of the  $\text{HCO}_2$  radical have been studied by configuration interaction calculations.<sup>21</sup> More recent calculations by Dunning and Harding<sup>22</sup> show that the reaction proceeds through an exoergic addition to OH to CO forming the trans-isomer of HOCO (see Fig. 5). Interconversion of the trans- and cis-isomer of HOCO appears to be a very easy process involving only a low barrier. Product formation is predicted to take place from the cis-isomer of HOCO exclusively. While the saddle point for addition of OH to CO is very "early" and broad, the saddle point for elimination of H from HOCO is centrally located and very narrow. The narrowness of the second barrier can lead to an important contribution to the rate coefficient from quantum mechanical tunneling. Using a simple Wigner approximation, the calculation shows that the tunneling contribution to the room temperature



new measurements of the high pressure limit recombination rate coefficient<sup>15</sup> are higher than calculated values.<sup>16</sup> The observed discrepancies could be attributed to a reduction of calculated reactive cross sections due to a 'rigid' character and a barrier of 8 kJ/mol of the Melius-Blint surface for dis-

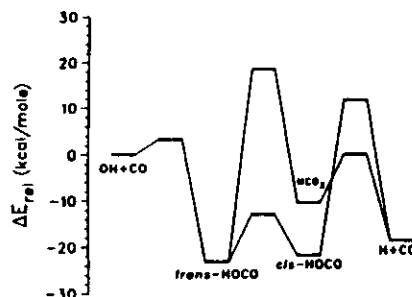


FIG. 5. Schematic diagram of the calculated potential energy surface for the reaction (2) (Dunning and Harding<sup>21,22</sup>).

rate coefficient of reaction (-2) is of more than 90%.<sup>23</sup> However, more sophisticated tunneling calculations and a variational treatment of transition state theory should be carried out. Energies for two alternative reaction pathways were also calculated: one indirect route by (1,2)-hydrogen migration from HOCO with a barrier of 25 kJ/mol above the HCO<sub>2</sub> route discussed first; and a direct insertion of the CO into the OH bond for which a very large barrier of 126 kJ/mol is predicted. Presently, no dynamic calculations are available which can be compared with experiments using hot hydrogen atoms<sup>24,5,25</sup> and hot OH radicals<sup>26</sup> that show substantial rate enhancement with increasing translational energy. Several authors<sup>27</sup> have applied transition-state theory to explain the upward curvature for the rate data for reaction (2) in the Arrhenius diagram. The curvature can not be explained by vibrational excitation of the reactants. A rate enhancement of less than a factor of two was measured after vibrational excitation of OH,<sup>28</sup> while vibrational excitation of CO even results in a decrease of the rate coefficient.<sup>29</sup> Clearly, more experimental and theoretical studies are necessary to understand this key reaction of all hydrocarbon oxidations.

In contrast, good agreement is obtained for experimental and theoretical results for reaction (-3) with high translational energy of the reactants<sup>4,30,31</sup> using an ab initio potential energy surface.<sup>32</sup> This surface gives also fairly accurate thermal rate coefficients for reaction (3).<sup>33</sup>

The classical source of information about the dependence of reaction cross sections on relative translational energy of the reactants are molecular beam scattering investigations.<sup>34,35</sup> Early investigations of reactions relevant to combustion processes have used effusive O-atom beams with initial translation energy around 3 kJ/mol from a low pressure discharge.<sup>36</sup> Energies of 30 kJ/mol were

obtained with a high temperature (2500 K) furnace as source of O-atoms.<sup>37</sup> In more recent experiments using a high pressure microwave discharge to provide a supersonic O-atom beam seeded in helium, initial translational energies of 40 kJ/mol could be obtained.<sup>38,39</sup> In the reactions of O-atoms with halogen molecules, the measured angular and product translational energy distributions show the existence of a long-lived collision complex.<sup>38,39</sup> A seeded supersonic O-atom nozzle beam source was used for reactive scattering experiments with benzene<sup>40</sup> and toluene.<sup>41</sup> By combining OH radical detection with laser-induced fluorescence and molecular beam scattering experiments, excitation functions for the abstraction of primary, secondary, and tertiary hydrogen atoms from saturated hydrocarbons,<sup>42</sup> substituted olefins, alkynes, amines, and CH<sub>3</sub>CHO<sup>43</sup> could be measured directly.

#### The Effect of Vibrational Excitation

The exchange reaction between the hydrogen atom and the hydrogen molecule provides the simplest case where, for neutral species, the effect of vibrational excitation on the kinetic process of bond breaking under the influence of new-bond formation can be studied experimentally and theoretically. As shown in Fig. 6, single vibrational quantum excitation of the H<sub>2</sub>-molecule exceeds the Arrhenius activation energy ( $E_a$ ), the threshold energy ( $E_c$ ) as well as the potential energy barrier height ( $E_b$ ) of the reaction D + H<sub>2</sub>. More than half a century ago, London<sup>44</sup> was the first who pointed out that the potential energy of the H<sub>2</sub> system can be expressed in terms of three coulombic interaction integrals and three exchange integrals. This simple valence bond calculation leads to a potential energy barrier  $E_c = 36.9$  kJ/mol, not far from the result obtained with modern high speed electronic computing devices.<sup>45</sup> However, a more precise treatment of the London method, including contribu-

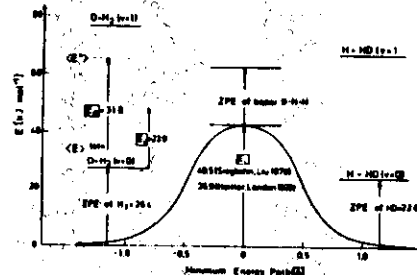


FIG. 6. Characteristic energies for the D + H<sub>2</sub>(v) reaction.

tions resulting from requisite overlap and three center terms, destroys the good accidental agreement with modern results. Some 150 carefully selected ab initio points were calculated by Siegbahn and Liu<sup>47</sup> and fitted by Truhlar and Horowitz<sup>48</sup> to an analytical function which represents the potential energy hypersurface mathematically in a smooth and easily handable way.

Experiments on the effect of vibrational excitation on the rate of the hydrogen atom exchange reaction were hampered by the difficulties in preparing and measuring known concentrations of vibrationally excited hydrogen molecules. The methods used include thermal generation of H<sub>2</sub>(v = 1),<sup>49</sup> energy transfer from laser excited HF(v = 1)<sup>50</sup> and microwave discharge generation of H<sub>2</sub>(v = 1).<sup>51,52</sup> Fig. 7 shows results of direct measurements and calculations of the rate of the reaction



A distinct temperature dependence is observed in the experiments using CARS spectroscopy for the detection of H<sub>2</sub>-molecules in different vibrational states<sup>53</sup> which compares well with theoretical calculations performed recently using different methods for treating the dynamics of the chemical reaction.<sup>53-56</sup> In calculations using quantized periodic orbits, a barrier of 18.3 kJ/mol was found in the entrance channel of the H<sub>2</sub>(v = 1) adiabatic surface far from the saddle point.<sup>53,54</sup> Similar barriers have been found in recent exact quantum calculations<sup>55,57,58</sup> and quasiclassical trajectory studies.<sup>56</sup> There is also good agreement of theory and experiment in the case of D + H<sub>2</sub>(v = 0) and H + D<sub>2</sub>(v = 0) reactions with high translational energy of the reactants.<sup>59-62</sup> This indicates that the surface<sup>48</sup> is correct even at high energies where only a few ab initio points were calculated. On the other

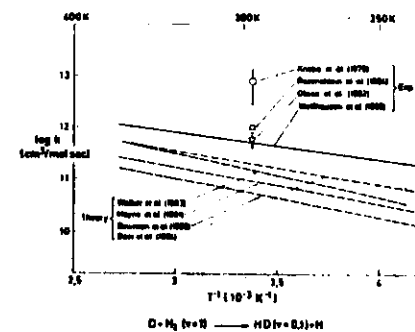


FIG. 7. Comparison of experimental and calculated rate constants for reaction (4) (References see text).

hand, there are still significant discrepancies between theory and experiments, as well as among the different theoretical treatments for the absolute values of the D + H<sub>2</sub>(v = 1) rate coefficients. The disagreement between theory and experiment for this reaction which should be the best-understood of all chemical processes surely provides a continuing theoretical and experimental challenge.

Surprisingly good agreement between experiment and theory is obtained for the effect of vibrational excitation on the reaction<sup>53</sup>

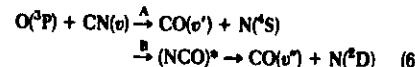


The reported rate for H<sub>2</sub>(v = 1) is  $2.6 \times 10^3$  times higher than that measured for thermal H<sub>2</sub> at room temperature. This large vibrational rate enhancement leads to the suggestion that differences of the reported rate coefficient values for thermal H<sub>2</sub> at temperatures below 400 K might be explained by the presence of vibrationally excited H<sub>2</sub> in these studies.<sup>53</sup> Theoretical calculations on reaction (5) are consistent with the experimental findings. They not only predict the observed large vibrational reaction rate enhancement but also the branching ratio in the product OH(v = 1)/OH(v = 0).<sup>54</sup>

For reaction (3), rate coefficients have been measured for both OH(v = 1) and H<sub>2</sub>(v = 1). While OH excitation leads to negligible rate enhancement,<sup>63</sup> vibrational excitation of H<sub>2</sub> accelerates the rate of reaction (3) by more than two orders of magnitude.<sup>64</sup> The experimental result can be understood by considering the OH bond in agreement with ab initio calculations of the transition state configuration<sup>67,68</sup> as a "spectator bond" which remains essentially unchanged during the course of the reaction. Although only a few experimental data on the temperature dependence of the OH + H<sub>2</sub>(v = 1) reaction are available,<sup>66</sup> it can be concluded that at elevated temperatures a substantial part of the reactive flux in the thermal reaction occurs via vibrationally excited states of H<sub>2</sub>. Similar results have been obtained from measurements of the temperature dependence of the rate of the reaction Br + HCl(v = 2)<sup>69</sup> and <sup>37</sup>Cl + H<sup>35</sup>Cl(v = 1),<sup>70,71</sup> using isotopically selective vibrational excitation of HCl and mass spectrometric detection of the reaction products. However, the effective use of vibrational energy to overcome the potential energy barrier  $E_c$  is very restricted in general. Unless the vibrational excitation leads to a substantial increase in the preexponential factor combined with the reduction of the barrier height, the rate increase by vibrational energy is usually cancelled in thermal reactions by the Boltzmann factor. In addition, very efficient vibrational energy transfer may occur in potentially reactive collisions. A theoretical model to explain the effective energy transfer in collisions involving P-state atoms as a result of electronically

non-adiabatic curve crossing was given by Nikitin and Umaniski.<sup>72</sup> As shown in Fig. 8, several potential surfaces exist for the interaction of O(<sup>3</sup>P) atoms with HCl(v). At certain distances, a nonadiabatic coupling between the different vibronic states is possible. Experimental results on the reverse reaction<sup>73</sup> Cl + OH(v) from O(<sup>3</sup>P) + HCl(v = 2)<sup>74</sup> indicate that the chemical reaction is predominantly vibronic on a triplet surface and does not proceed through a long-lived HOCl-complex.

An interesting example in which complex and direct pathways can be observed simultaneously is the radical reaction



Channel A connects the reactants directly with electronic ground state nitrogen atoms and CO molecules, while channel B correlates with the electronic ground state of the NCO radical as intermediate, and with electronically excited nitrogen atoms and electronic ground state CO molecules as products. The deep attractive "well" of the NCO ground state allows an effective energy exchange for several vibrational periods in the collision complex. The reaction energy, therefore, is distributed along path B in a statistical way among the reaction products.<sup>75</sup> Along the direct path A, vibrational energy in the CN radical is mainly transformed into vibrational excitation of the CO product molecule. The experimental results<sup>76</sup> are in good agreement with trajectory calculations.<sup>77</sup> Among other details, the trajectory calculations also give a picture of how the vibrational excitation of CN(v) influences the rate of reaction (6) on the two different pathways. As shown in Fig. 9, along the complex path the reaction cross section decreases with increasing vibrational exci-

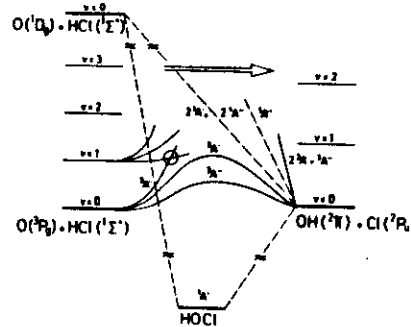


FIG. 8. Reaction and vibrational deactivation of HCl(v) in collisions with O(<sup>3</sup>P).

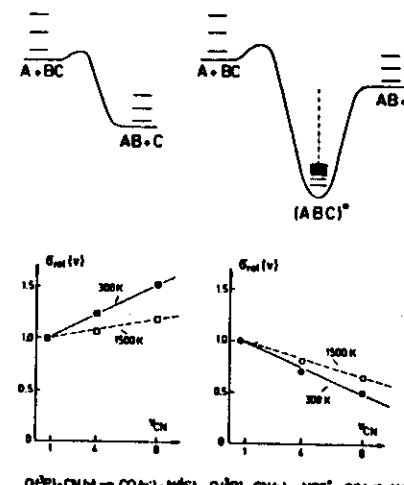
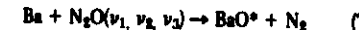


FIG. 9. Dependence of reactive cross section on the vibrational excitation of CN radicals in the direct and complex pathway of reaction (6).

tation of CN. This can be understood from the standpoint of the unimolecular decomposition of the intermediate NCO complex, which gives an increasing amount of redissociation into reactants with increasing total energy. As mentioned earlier,<sup>29</sup> this kind of behaviour has been observed experimentally for reaction (2). For the direct path A, the opposite trend is observed. The increase in the reactive cross section with vibrational excitation can be rationalized by an "induced attraction":<sup>78</sup> the barrier due to the repulsion between an attacking atom A and the molecule BC in the vibrational ground state will decrease for BC(v) in high vibrational levels, since in the limit of dissociation of BC an attraction exists between the free atoms A and B.

With investigations of reactions between atoms and vibrationally excited triatomic molecules, one encounters a fascinating aspect of elementary reaction kinetics: the question of mode-specific energy consumption. Molecular beam studies of the reaction



suggest that the  $v_2$ -bending mode in N<sub>2</sub>O acts as a promoting mode and is more effective than an equivalent amount of translational energy.<sup>79</sup> Trajectory studies using a colinear model of the O + CS<sub>2</sub> → CO + CS reaction<sup>80</sup> indicate that the asymmetric stretch vibration  $v_3$  will not be the promoting mode, even though  $v_3$  appears to displace the

molecule along the reaction coordinate. Instead, the lower frequency mode  $v_1$  (symmetric stretch) couples more efficiently into the motion along the reaction coordinate. In a more recent investigation, the reaction (3) could be studied by the quasi classical trajectory method<sup>31</sup> on the previously already mentioned potential energy surface.<sup>32</sup> As shown in Fig. 10, the reaction rate coefficients are enhanced by exciting any of the vibrational modes of the H<sub>2</sub>O molecule. Most of that enhancement is due to a reduction in the threshold energy. The efficiency of threshold reduction varies significantly from mode to mode. The bending mode is the most efficient mode and the asymmetric stretch mode the least. However, there are some ambiguities in the potential energy surface, as well as more general ones in the application of classical mechanics to polyatomic systems, due to the inability of classical mechanics to constrain at least the zero point energy in each mode during the reaction. No experimental studies on the effect of vibrational excitation of H<sub>2</sub>O in reaction (-3) are available. However, as reported at this symposium,<sup>153</sup> highly vibrationally excited H<sub>2</sub>O<sup>•</sup> molecules are formed in the NH<sub>2</sub> + NO reaction which could be used for such investigations. Further studies on reactions of vibrationally excited molecules can be found in a recent review.<sup>82</sup>

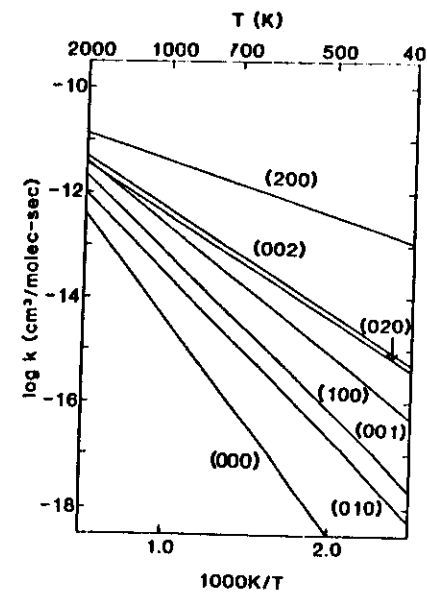


FIG. 10. Calculated rate coefficients of reaction (-3) for vibrationally excited H<sub>2</sub>O molecules in different normal mode states (Schatz et al.<sup>31</sup>).

### The Effect of Collisions

As illustrated in Fig. 11, even the oxidation of a C<sub>1</sub>-hydrocarbon involves a large number of elementary reactions. In lean and stoichiometric flames the CH<sub>3</sub> radical formed by reactions of H, O, and OH with CH<sub>4</sub> react predominantly with O atoms to give formaldehyde from which the HCO radical is formed which can decompose to CO and H atoms. This simple scheme is complicated by the recombination of CH<sub>3</sub> radicals. In rich flames, recombination and addition of the CH<sub>3</sub> radical to unsaturated compounds can form higher hydrocarbons which are then successively reduced and oxidized. Looking at this scheme, it is immediately clear that in addition to the energy requirements in these elementary steps, the effect of collisions must play an equally important role. There are many competing recombination and dissociation reactions which show a complicated pressure and temperature dependence.

Collisional energy transfer in vibrationally highly excited polyatomic molecules has been studied ex-

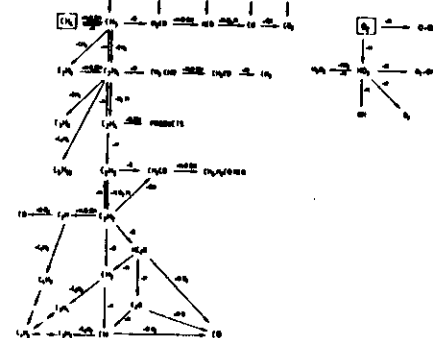


FIG. 11a. Elementary steps in the oxidation of methane.

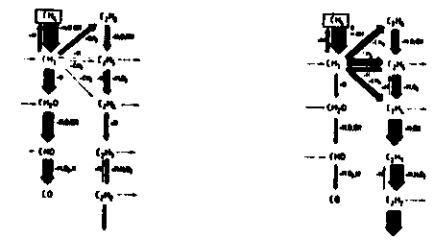


FIG. 11b. Molar chemical fluxes in atmospheric CH<sub>4</sub>-air flames (Warnatz).

perimentally, mostly by indirect techniques in which energy transfer was competing with other processes such as unimolecular rearrangements or fluorescence. The accuracy of the energy transfer parameters derived depends to a large extent on the possibilities for absolute calibration of the rate of the reference process used.<sup>83-85</sup> Direct measurements, which do not rely on competing reference processes, became available recently by using laser excitation with direct observation of energy loss rates by hot molecule spectroscopy<sup>86,87</sup> or time-resolved hot IR emission spectra.<sup>88,89</sup> With this new technique, one can obtain more reliable answers to fundamental questions important in understanding unimolecular rate processes, such as absolute values of the average energies ( $\Delta E$ ) transferred per collision for weak and strong colliders, details of the state to state collisional energy transfer function, dependence of the average energy transfer per collision on the excitation energy of the highly excited molecule, and on the bath gas temperature and the properties of the bath gas molecules. In a series of experiments,<sup>85,86</sup> it was found that the average energies transferred per collision appear to be considerably smaller than those derived from earlier indirect measurements.<sup>83</sup> The values for a given bath gas were found to increase very slightly with the size of the excited molecule. Only a weak temperature dependence of ( $\Delta E$ ) was found in the laser experiments using toluene,<sup>87</sup> in contrast to experiments using multichannel competitive thermal isomerization of cyclopropanes.<sup>80,82</sup>

Another key quantity in unimolecular reactions is the specific rate coefficient  $k(E)$ . In a series of experiments, Troe and coworkers have investigated the isomerization of various substituted cycloheptatriens in their electronic ground state using thermal isomerization,<sup>93</sup> steady-state photoisomerization,<sup>94</sup> and direct experiments by time resolved UV absorption spectroscopy after selective laser excitation.<sup>95</sup> Comparison of the data from the three different experiments show that statistical theories of unimolecular reactions can fully account for all results.

As examples for experimental and theoretical investigations on the effect of collisions on the reaction rates and primary products of elementary steps the reactions of  $C_2H_4$  molecules with O and H atoms and OH radicals will be discussed here. Fig. 12 shows the results obtained so far for the reaction with oxygen atoms. To explain the final products of this reaction and their pressure dependence, a mechanism originally proposed by Cvetanovic<sup>96</sup> assumes the initial formation of a biradical which then rearranges to form vibrationally hot aldehyde or epoxide molecules. In the absence of stabilizing collisions, the aldehyde and epoxide break into various radical species. A small fraction of the biradicals initially formed is thought to decay to radicals

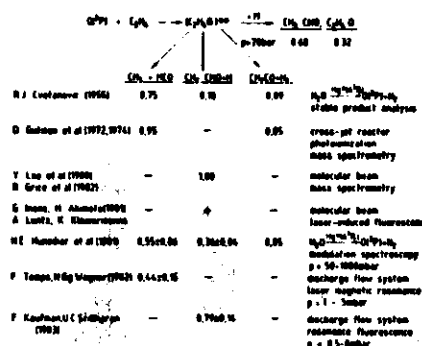


FIG. 12. Primary products in the  $O(P) + C_2H_4$  reaction (References see text).

via a pressure-independent fragmentation process. Predominance of the radical fragments,  $CH_3$  and  $HCO$  was found by stable product analysis, as well as by direct mass spectrometric detection. In sharp contrast, however, in investigations using the molecular beam scattering technique in combination with mass spectrometric detection<sup>99</sup> and laser-induced fluorescence<sup>100,101</sup> the  $CH_2CHO$  radical was observed as a dominant product formed by a substitution pathway. The different results indicate the importance of collisions in determining the primary product distribution. Subsequent investigations<sup>102-104</sup> have covered a wide pressure range between 0.5 to  $10^3$  mbar, using transient optical absorption for  $HCO$  and  $CH_2CHO$ ,<sup>102</sup> laser magnetic resonance absorption for the detection of  $HCO$  radicals,<sup>103</sup> and  $L_\infty$ -resonance fluorescence for detection of H atoms.<sup>104</sup> However, no coherent picture is obtained. Theoretical studies<sup>105</sup> can only give qualitative explanations and no quantitative guidance. Further studies are necessary to obtain a clear picture on the fraction of the pressure-invariant reaction channel forming the  $CH_2CHO$  radical.

The situation is somewhat simpler for the reaction of  $C_2H_4$  with hydrogen atoms. As shown in Fig. 13, the temperature dependence of this reaction cannot be described by a simple Arrhenius expression. The non-monotonical behaviour of the Arrhenius graph of this reaction reflects the competition between the abstraction route to form  $C_2H_3$  and the complex-forming route that gives  $C_2H_5$ . Even at a pressure of 1 bar, the high pressure limit of the recombination rate is not reached at higher temperatures.<sup>106,107</sup> Also, the decomposition rate of  $C_2H_5$  is well in the fall-off region of the unimolecular reaction. Even at 10 bar, the rate coefficient is more than two orders of magnitude smaller than the limiting high pressure rate coefficient. Again, the temperature dependence of the dissociation rate can

tion rates at pressures below 1 mbar could help to determine the contribution of pressure-independent pathways to the overall reaction mechanism.

### The Effect of Transport Processes

A large number of combustion systems cannot be considered to be spatially homogeneous. Modelling of such situations requires a coupling between chemical kinetic and transport processes.

The theory of transport properties of dilute gases<sup>113</sup> requires the knowledge of the intermolecular potential energy acting between the molecules in order to calculate the viscosity  $\eta$ , the self-diffusion coefficient  $D$  and the heat conductivity  $\lambda$ . The Lennard-Jones (n, 6)-potential is commonly used since extensive tables of collision integrals needed for the calculation procedure are available in the literature.<sup>114</sup> More recently a method has been developed using semi-empirical fit equations for the collision integrals which allow  $\eta$  and  $D$  (and  $\lambda$  for monoatomic gases) to be described with an accuracy of better than  $\pm 1\%$  over the entire temperature range covered by the experimental data. An exhaustive compilation is given<sup>115</sup> which contains a complete set of further references. This procedure has successfully been applied to describe gases such as He, Ne, Ar, Kr, Xe, H<sub>2</sub>, NO, N<sub>2</sub>O, N<sub>2</sub>, O<sub>2</sub>, CH<sub>4</sub>, C<sub>2</sub>H<sub>6</sub>, C<sub>3</sub>H<sub>8</sub>, CO, CO<sub>2</sub>, CF<sub>4</sub> and SF<sub>6</sub>. Only in the case of H<sub>2</sub>O and NH<sub>3</sub>, does the influence of the dipole moment have to be taken into account for temperatures above 400 K. This can be done either by applying the theory of Mason and Monchick,<sup>116</sup> or the so called "orientational average method" which needs temperature-dependent potential parameters.<sup>117</sup> In calculating  $\lambda$  for molecular species, a contribution arising from transfer of internal energy during the collision of molecules has to be taken into account. The MPM-theory<sup>118</sup> has been used in a critically revised version.<sup>119</sup> The Chapman-Cowling-Enskog (CCE) theory<sup>113</sup> has also been developed for monoatomic mixtures.<sup>113,115,120</sup> Because of the high complexity of the calculation procedure, simpler but empirical expressions for  $\lambda_{mix}$  and  $\eta_{mix}$  have been reported in the literature.<sup>121</sup> These empirical expressions turn out to be superior to the CCE-theory when applied to binary mixtures of rare gases, provided a fit parameter is adjusted properly to the experimental data.<sup>122</sup>

$$\lambda_{Mix,mono} = \sum_i \frac{X_i \lambda_i}{\sum_j X_j \lambda_j} \quad (8)$$

FIG. 14. Survey of the measurements on the pressure dependence of the rate coefficients for reactions of OH radicals with  $C_2H_4$  at 295 K (References see Klein et al.<sup>111</sup>).

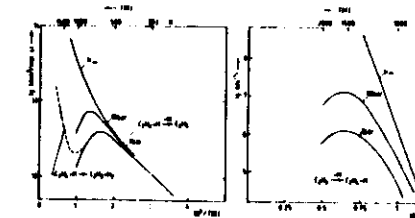


FIG. 13. Pressure and temperature dependence of the  $C_2H_4 + H \rightarrow C_2H_3$  reaction (Hoyermann and Wagner<sup>110</sup>).

hardly be described by a simple Arrhenius activation energy.

Fig. 14 gives a survey of the measurement on the pressure dependence of the reaction of OH radicals with  $C_2H_4$ . The fall-off curve comes from very recent measurements<sup>111</sup> for argon (solid line) and synthetic air (broken line). This reaction can now be used as a reference reaction for relative rate measurements over a pressure range of 1.5–1,000 mbar. The product distribution has been measured at 295 K, at low pressures below 2 mbar, using a discharge flow and a Laval nozzle reactor.<sup>112</sup> These measurements have been used to calculate the product distribution for the reaction at atmospheric pressure as a function of temperature.<sup>118</sup> Below 600 K, large concentrations of the product  $C_2H_5OH$  are formed. At higher temperatures, formaldehyde and increasing amounts of acetaldehyde are predicted.<sup>112</sup> Further measurements of the total reac-

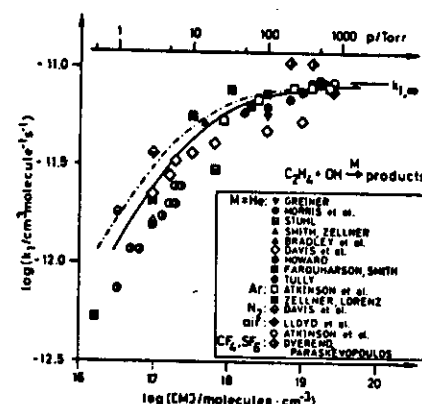


FIG. 14. Survey of the measurements on the pressure dependence of the rate coefficients for reactions of OH radicals with  $C_2H_4$  at 295 K (References see Klein et al.<sup>111</sup>).

bution to  $\lambda_{min}$  of molecular mixtures. The internal contribution to  $\lambda_{min}$  of molecular mixtures can be described adequately by the Hirschfelder-Eucken relation.<sup>120,115</sup> More than 50 binary mixtures have been studied by this method.<sup>122</sup> A representative example is shown in Fig. 15. Results for ternary mixtures ( $N_2 + H_2 + NH_3$ ) have also been obtained. The predicted  $r$ -values are in agreement with the experimental data to within a few percent. The main reason for the deviations is the lack of a detailed knowledge of the intermolecular forces. Very recently it was shown that reliable potential surfaces can be determined by combination of experimental data such as molecular beam cross sections,<sup>123</sup> transport properties and second virial coefficients.<sup>124</sup> There also exists a lack of experimental data on mixtures at high temperatures which still prevents at present a serious test of the quality of the extrapolated theoretical values to high temperatures. Numerical models which solve the coupled partial differential equations for fluid mechanics, heat transfer, and chemical kinetics use transport coefficients of very different degrees of accuracy.<sup>125-130</sup> They range from a very simple temperature function and fitting to experimental data over exact data (CCE theory) for heat conductivity and binary diffusion coefficients combined with data for mixtures which are obtained by empirical formulas to more sophisticated models for multicomponent mixtures. Further experimental studies to obtain directly data at high temperatures and information on the effect of internal degrees of freedom on transport coefficients are urgently needed.

In conclusion, as an example for the coupling of chemical kinetics with transport processes, recent experiments and model calculations on the ignition process in a closed vessel are described. As in the previous sections, in this field also lasers provide a very valuable tool for interesting new experimental approaches. For the ignition process, lasers were

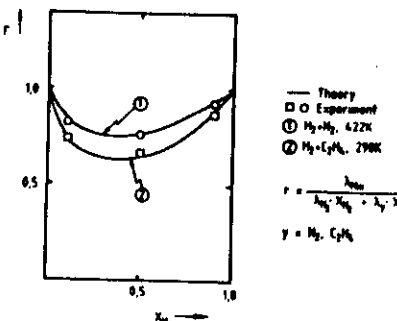


FIG. 15. Prediction of heat conductivity coefficients for binary mixtures (Heintz<sup>118</sup>).

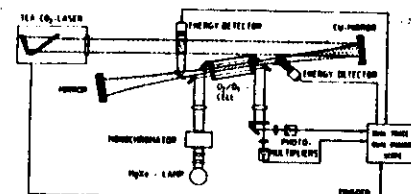


FIG. 16. Schematic of the experimental arrangement for time- and space resolved observation of the infrared laser induced ozon decomposition.

first used as controlled spark ignition sources.<sup>131-135</sup> However spark ignition further complicates the theoretical treatment of the system since in addition to the coupling of transport processes, chemical kinetics, and fluid dynamics, the plasma effects of charged species must also be considered. If electrical breakdown is avoided sensitizing molecules like SF<sub>6</sub> can be added to couple CO<sub>2</sub> laser energy into the medium.<sup>133,136-139</sup> This may, however, cause a complicated fluence dependence of the ignition process since multiphoton dissociation of the sensitizers can produce unknown radical concentrations. In order to simplify the situation for successful comparison between experiment and model calculation, one should use low-dimensional geometrical situations and simple chemistry.<sup>140</sup> Fig. 16 shows such an apparatus. The reaction vessel is filled with an O<sub>3</sub>/O<sub>2</sub> mixture. Ozon decomposition requires only a small set of elementary steps, which has been solved for the stationary O<sub>3</sub> decomposition flame.<sup>141,145</sup> O<sub>3</sub> also shows a strong infrared absorption in the emission region of the CO<sub>2</sub> laser.<sup>142</sup> The absorption cross section for multiphoton dissociation is relatively small.<sup>143</sup> As illustrated in Fig. 17, the cylindrical symmetry of the arrangement gives a nearly one-dimensional geometry. The temporal and spatial development of the O<sub>3</sub> decomposition can be followed by two simultaneous UV absorption measurements. The observed signals must

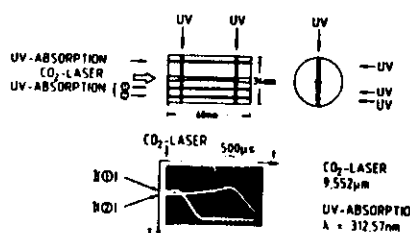


FIG. 17. Infrared laser-induced ozon decomposition. Time dependence of ozon UV-absorption at different locations.

be corrected for the temperature-dependence of the ozone absorption coefficient in the Hartley continuum.<sup>144</sup> Careful inspection of the signal near to center shows low intensity variations due to the acoustic waves generated by the ignition process. Fig. 18 gives the results of the model calculations. Here, the conservation equations for mass, momentum, energy and the mass fraction of each of the chemical species are solved in cylindrical coordinates. The DASSL (Differential Algebraic Solver Sandia Livermore) or LIMEX (Linear Implicit Differential Equation System by Extrapolation Method, Heidelberg) code is used to solve the system of coupled differential/algebraic equations.<sup>146-148</sup> Good agreement is obtained between the measured and modelled temporal and spatial evolution of the system.<sup>151,152</sup> Further experiments

will also follow the behaviour of vibrational excited O<sub>3</sub> and O<sub>2</sub> in the system by UV absorption<sup>149</sup> and infrared diode spectroscopy.<sup>150</sup>

### Conclusions

The transfer of data on elementary chemical reactions from one reacting system to another is the basis for describing the evolution of a combustion process in time and space mathematically by chemical kinetic modelling. Despite the large number of elementary steps (on the order of several hundred) taking place in the oxidation of hydrocarbons, the important parameters of a combustion event are controlled by a relatively few elementary reactions. These reactions can now be studied in microscopic detail using modern laser spectroscopy methods. Experimental results obtained in this way can be compared with dynamic calculations, using ab initio potential energy surfaces and thermal rate measurements. Further experimental and theoretical work in this direction is necessary to create a converging microscopic and macroscopic picture of the key reactions for all combustion modelling calculations. To obtain a complete and quantitative set of kinetic data for the wide range of physical and chemical conditions of interest in hydrocarbon combustion problems, further research must be directed to experimental and theoretical studies of the pressure and temperature dependence of the rates and primary products formed in numerous radical reactions. Improved methods recently became available for the mathematical modelling of situations which require coupling between chemical kinetics and transport processes. Further progress in this area is possible by using chemically well understood systems and an improved knowledge of transport coefficients in multicomponent mixtures for a wide range of conditions.

### Acknowledgments

I am grateful to many colleagues for numerous interesting discussions and for sending me manuscripts of their results. I would like to thank Prof. H. G. Wagner for his continuous interest and support of our experimental work, carried out in the Max-Planck-Institut für Strömungsforschung in Göttingen. The financial support of our work by the Stiftung Volkswagenwerk and the Deutsche Forschungsgemeinschaft (Sonderforschungsbereich 123: Stochastische, mathematische Modelle) is gratefully acknowledged.

### REFERENCES

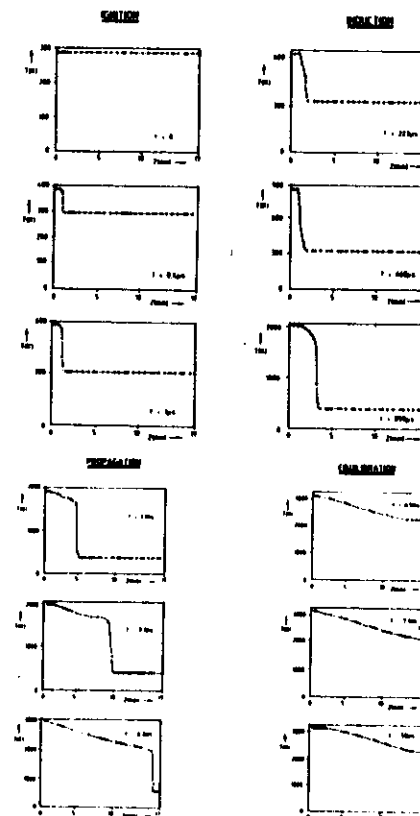


FIG. 18a,b. Modelling of infrared laser-induced ozon decomposition.

- WEINBERG, F. J.: Fifteenth Symposium (International) on Combustion, p. 1, The Combustion Institute (1975).

2. WARNATZ, J.: *Ber. Bunsenges. Phys. Chem.* **87**, 1008 (1983).
3. KLEINERMANNS, K. AND WOLFRUM, J.: *J. Chem. Phys.* **80**, 1446 (1984).
4. KLEINERMANNS, K. AND WOLFRUM, J.: *Appl. Phys. B* **34**, 5 (1984).
5. KLEINERMANNS, K. AND WOLFRUM, J.: *Chem. Phys. Lett.* **104**, 157 (1984).
6. KLEINERMANNS, K. AND LINNEBACH, E.: *Appl. Phys. B* (to be published, 1985).
7. KLEINERMANNS, K. AND SCHINKE, R.: *J. Chem. Phys.* **80**, 1440 (1984).
8. MELIUS, C. F. AND BLUNT, R. J.: *Chem. Phys. Letters* **64**, 183 (1979).
9. PECHUKAS, P., LIGHT, J. C. AND RANKIN, C.: *J. Chem. Phys.* **44**, 794 (1966).
10. MILLER, J. A.: *J. Chem. Phys.* **74**, 5120 (1981).
11. SCHOTT, G. L.: *Combust. Flame* **21**, 357 (1973).
12. CHANG, C.-C. AND SKINNER, G. B.: Twelfth (International) Symposium on Shock Tubes and Waves, 629 (1980).
13. JUST, TH. AND FRANK, P. *Ber. Bunsenges. Phys. Chem.* (in press, 1985).
14. BAULCH, D. L., DRYSDALE, D. D. AND HORNE, D. G.: Fourteenth Symposium (International) on Combustion, p. 107, The Combustion Institute (1973).
15. BOWMAN, C. T.: Fifteenth Symposium (International) on Combustion, p. 868, The Combustion Institute (1975).
16. COBOS, C., HIRLER, H. AND TROE, J.: *J. Chem. Phys.* (in press, 1985).
17. MILLER, J. A. AND BROWN, N. J.: *J. Phys. Chem.* **86**, 772 (1982).
18. BROWN, N. J. AND MILLER, J. A.: *J. Chem. Phys.* **80** (1984).
19. DUNNING, JR., T. H., WALCH, S. P. AND CONNIGAME, M. M.: *J. Chem. Phys.* **74**, 3482 (1981).
20. RAI, S. N. AND TRUHLAR, D. G.: *J. Chem. Phys.* **70**, 6046 (1983).
21. PEYERIMHOFF, S. P., SKELL, P. S., MAY, D. D. AND BUENKER, R. J.: *J. Am. Chem. Soc.* **104**, 4515 (1982).
22. DUNNING JR., T. H. AND HARDING, L. B.: "Ab Initio Determination of Potential Energy Surfaces for Chemical Reactions" in Theory of Chemical Reaction Dynamics (M. Baer, Ed.), CRC Press (1984).
23. WAGNER, A. F. AND HARDING, L. B.: Annual Report Theoretical Chemistry Group, p. 8, Argonne National Laboratory (1983).
24. OLDERSHAW, G. A. AND PORTER, D. A.: *Nature* **223**, 490 (1969).
25. QUACK, C. R. AND TIEE, J. J.: *Chem. Phys. Letters* (1984).
26. JACOBS, A. AND WOLFRUM, J.: (to be published, 1984).
27. DRYER, F. L., NAEGLI, D. AND GLASSMAN, I.: *Combust. Flame* **17**, 270 (1971).
28. MOZURKEWICH, M., LAMB, J. L. AND BENSON, S. W.: *J. Phys. Chem.* (to be published, 1984).
29. SPENCER, J. E., ENDO, H. AND GLASS, G. P.: Sixteenth Symposium (International) on Combustion, p. 829, The Combustion Institute (1977).
30. ELGERSMA, H. AND SCHATZ, C. G.: *Intern. J. Quantum Chem. Symp.* **15**, 311 (1981).
31. SCHATZ, C. G., COLTON, M. C. AND GRANT, J. L.: *J. Phys. Chem.* (to be published, 1984).
32. WALCH, S. P., DUNNING JR., T. H.: *J. Chem. Phys.* **72**, 1303 (1980).
33. SCHATZ, C. G., ELGERSMA, H.: *Chem. Phys. Letters* **73**, 21 (1980).
34. TRUHLAR, D. G., ISAACSON, A. D.: *J. Chem. Phys.* **77**, 3516 (1982).
35. TOENNIES, J. P.: in "Physical Chemistry—An Advanced Treatise," (W. Jost, Ed.), Vol. VIa, Chap. 5, Academic Press, New York (1975).
36. BEARNSTEIN, R. B.: Chemical Dynamics via Molecular Beam and Laser Techniques, Clarendon Press, Oxford (1982).
37. PARMISH, D. IX AND HERSCHBACH, D. R.: *J. Am. Chem. Soc.* **95**, 6133 (1973).
38. CLOUD, P. N., O'NEILL, G. M. AND GEDDY, J.: *J. Chem. Phys.* **69**, 3128 (1978).
39. BRIATTI, R. J., HOBSON, J. H., DAVIDSON, F. E. AND GRICE, R.: *Molec. Phys.* **43**, 113 (1981).
40. FERNE, D. P., SMITH, D. J., DURKIN, A. AND GRICE, R.: *Molec. Phys.* **46**, 41 (1982).
41. DURKIN, A., SMITH, D. J. AND GRICE, R.: *Molec. Phys.* **46**, 55, 1251, 1261 (1982); **48**, 1137 (1983).
42. SIBENER, S. J., BUSS, R. J., CASAVECCHIA, P., HIROOKA, T. AND LEE, Y. T.: *J. Chem. Phys.* **72**, 4341 (1980).
43. GUOZHONG HE, BUSS, R. J., BASEMAN, R. J., TSE, R. AND LEE, Y. T.: *J. Phys. Chem.* **86**, 3547 (1982).
44. CORBY, P. A., NOWIKOW, C. V. AND GRICE, R.: *Molec. Phys.* **38**, 1485 (1979).
45. BUSS, R. J., SIBENER, S. J. AND LEE, Y. T.: *J. Phys. Chem.* **87**, 4840 (1983).
46. BASEMAN, R. J., BUSS, R. J., CASAVECCHIA, P. AND LEE, Y. T.: *J. Am. Chem. Soc.* **106**, 4108 (1984).

47. ANDRESEN, P. AND LUNTZ, A. C.: *J. Chem. Phys.* **72**, 5842, 5851 (1980).
48. KLEINERMANNS, K. AND LUNTZ, A. C.: *J. Chem. Phys.* **77**, 3533, 3537, 3774 (1982).
49. LONDON, F. C.: Probleme der Modernen Physik, p. 104, Hirzel, Leipzig (1928).
50. SIEGBAHN, P. AND LIU, B.: *J. Chem. Phys.* **68**, 2457 (1978).
51. LIU, B.: *J. Chem. Phys.* **80**, 581 (1984).
52. TRUHLAR, D. G. AND HONORWITZ, C. J.: *J. Chem. Phys.* **68**, 2460 (1978).
53. GORDON, E. B., IWANOV, B. I., PERMINOV, A. P., BALALAEV, V. G., PONOMAREV, A. N. AND FITATOV, V. V.: *Chem. Phys. Letters* **58**, 425 (1978).
54. ROZENSSTEIN, V. B., GERSHENZON, Yu., M., IVANOV, A. V., KUCHERJAVI, S. I.: *Chem. Phys. Letters* **105**, 423 (1984).
55. KNEBA, M., WELLHAUSEN, U. AND WOLFRUM, J.: *Ber. Bunsenges. Phys. Chem.* **83**, 940 (1979).
56. GLASS, G. P. AND CHAITURVEDI, B. N.: *J. Chem. Phys.* **77**, 3478 (1982).
57. WELLHAUSEN, U.: Dissertation Universität Göttingen (1984).
58. WELLHAUSEN, U. AND WOLFRUM, J.: *Ber. Bunsenges. Phys. Chem.* (1985).
59. POLLAK, E.: *Chem. Phys. Letters* **80**, 45 (1981).
60. POLLAK, E. AND WYATT, R. E.: *J. Chem. Phys.* **78**, 4464 (1983).
61. WALKER, R. B. AND HAYES, E. F.: *J. Phys. Chem.* **87**, 1255 (1983).
62. MAYNE, H. R. AND TOENNIES, J. P.: *J. Chem. Phys.* **75**, 1794 (1981).
63. BOWMAN, J. M., LEE, U. T. AND WALKER, R. B.: *J. Chem. Phys.* **79**, 3742 (1983).
64. ABU SALI, N., KOURI, D. J., SHIMA, Y. AND BAER, M.: *Chem. Phys. Letters* **105**, 472 (1984).
65. CERNÝ, D. P. AND VALENTINI, J. J.: *J. Chem. Phys.* **81**, 1298 (1984).
66. RETTNER, C. T., MARINERO, E. E. AND ZARE, R. N.: *J. Chem. Phys.* **80**, 4142 (1984).
67. GOTTING, R., MAYNE, H. R. AND TOENNIES, J. P.: *J. Chem. Phys.* **80**, 2230 (1984).
68. BLAIS, N. C. AND TRUHLAR, D. G.: *Chem. Phys. Letters* **102**, 120 (1983).
69. LIGHT, G. C. AND MATSUMOTO, J. H.: *Chem. Phys. Letters* **58**, 578 (1978).
70. LIGHT, G. C. AND MATSUMOTO, J. H.: *Int. J. Chem. Kinet.* **12**, 451 (1980).
71. SCHINKE, R. AND LESTER, W. A.: *J. Chem. Phys.* **70**, 4893 (1979).
72. ZELLNER, R. AND STEINERT, W.: *Chem. Phys. Letters* **81**, 568 (1981).
73. SCHATZ, C. G.: *J. Chem. Phys.* **74**, 1133 (1981).
74. ZELLNER, R.: *J. Phys. Chem.* **83**, 18 (1979).
75. KNEBA, M., STENDER, R., WELLHAUSEN, U. AND WOLFRUM, J.: *J. Mol. Struct.* **59**, 207 (1980).
76. KNEBA, M. AND WOLFRUM, J.: *J. Phys. Chem.* **83**, 69 (1979).
77. KNEBA, M. AND WOLFRUM, J.: Seventeenth Symposium (International) on Combustion, p. 497, The Combustion Institute (1978).
78. NIKITIN, E. E. AND UMANSKI, S. Y.: *Faraday Discuss. Chem. Soc.* **53**, 1 (1972).
79. BLACKWELL, B. A., POLANYI, J. C. AND SLOAN, J. J.: *J. Chem. Phys.* **64**, 25 (1977).
80. BUTLER, J. E., HUGGENS, J. W., LIN, M. C. AND SMITH, G. K.: *Chem. Phys. Letters* **58**, 216 (1978).
81. TROE, J.: *Ann. Rev. Phys. Chem.* **29**, 223 (1978).
82. QUACK, M.: *J. Phys. Chem.* **83**, 150 (1979).
83. SCHMATKO, K. J. AND WOLFRUM, J.: Sixteenth Symposium (International) on Combustion, p. 819, The Combustion Institute (1977).
84. SCHMATKO, K. J. AND WOLFRUM, J.: *Ber. Bunsenges. Phys. Chem.* **79**, 69 (1975), 83, 419 (1978).
85. DING, A. M. G., KIRSCH, L. J., PERRY, D. S., POLANYI, J. C. AND SCHREIBER, J. L.: *Faraday Discuss. Chem. Soc.* **55**, 252 (1973).
86. WREN, D. J. AND MENZINGER, M.: *Faraday Discuss. Chem. Soc.* **67**, 97 (1979).
87. SCHATZ, C. G.: *J. Chem. Phys.* **71**, 542 (1979); ELGERSMA, H. AND SCHATZ, C. G.: *Chem. Phys.* **54**, 201 (1981).
88. BROWN, N. J.: (personal communication).
89. WOLFRUM, J.: "Reactions of vibrationally excited molecules" in: Reaction of Small Transient Species, Kinetics and Energetics. A. Fontijne and M.A.A. Clyne (Eds.), chap. 3, Academic Press, London (1983).
90. TARDY, D. C. AND RABINOVITCH, B. S.: *Chem. Rev.* **77**, 369 (1977).
91. QUACK, M. AND TROE, J.: *Int. Rev. Phys. Chem.* **1**, 97 (1981).
92. TROE, J.: *J. Chem. Phys.* **77**, 3485 (1982).
93. HIPPLER, H., TROE, J. AND WENDELKEN, H. J.: *J. Chem. Phys.* **78**, 6709, 6718 (1983).
94. HEYMANN, H., HIPPLER, H. AND TROE, J.: *J. Chem. Phys.* **80** (1984).
95. SMITH, G. P. AND BARKER, J. R.: *Chem. Phys. Letters* **78**, 253 (1981).
96. ROSSI, M. J. AND BARKER, J. R.: *Chem. Phys. Letters* **85**, 21 (1982).
97. KLEIN, I. E., RABINOVITCH, B. S. AND JUNG, K. H.: *J. Chem. Phys.* **67**, 3833 (1977).
98. KRONCAUZ, V. V. AND RABINOVITCH, B. S.: *J. Chem. Phys.* **78**, 3872 (1983).
99. KRONCAUZ, V. V., RABINOVITCH, B. S. AND LIN KAITYE-WEISS, E.: *J. Chem. Phys.* **78**, 5643 (1983).
100. ASTIKOLZ, D. C., TROE, J. AND WIETERS, W.: *J. Chem. Phys.* **70**, 5107 (1979).
101. TROE, J. AND WIETERS, W.: *J. Chem. Phys.* **71**, 3831 (1979).

95. HIPPNER, H., LUTHER, K., TROE, J. AND WENDT, H. J.: *J. Chem. Phys.* **79**, 239 (1983).
96. CRETANOVIC, R. J.: *Prog. React. Kinet.* **2**, 39 (1964).
97. KANOVSKY, J. R. AND GUTMAN, D.: *Chem. Phys. Letters* **15**, 236 (1972).
98. PRUSS, F. J., SLAGLE, I. R. AND GUTMAN, D.: *J. Phys. Chem.* **78**, 663 (1974).
99. BLUMENBERG, B., HOYERMAN, K. AND SIEVERT, R.: Sixteenth Symposium (International) on Combustion, p. 841, The Combustion Institute (1977).
100. BUSS, R. J., BASEMAN, R. J., GUOZHONG HE, LEE, Y. T.: *J. Photochem.* **17**, 389 (1981).
101. CLEMID, A. R., DUNCAN, G. L. AND GRICE, R.: *J. Chem. Soc. Faraday Trans.* **78**, 1231 (1982).
102. KLEINERMANNS, K. AND LUNTZ, A. C.: *J. Phys. Chem.* **85**, 1966 (1981).
103. INONE, G. AND AKIMOTO, H.: *J. Chem. Phys.* **74**, 424 (1981).
104. HUNZIKER, H. E., KNEPPE, H. AND WENDT, H. R.: *J. Photochem.* **17**, 377 (1981).
105. TEMPS, F. AND WAGNER, H. G.: MPI für Strömungsforschung, Bericht 18/1982.
106. SUDHARAN, U. C. AND KAUFMAN, F.: *Chem. Phys. Letters* **102**, 45 (1983).
107. DUPUIS, M., WENDOLSKI, J. J., TAKADA, J. AND LESTER JR., W. A.: *J. Chem. Phys.* **76**, 481, 488 (1982).
108. BENSON, S. W. AND HAUGEN, G. R.: *J. Phys. Chem.* **71**, 4404 (1967).
109. JUST, TH., ROTH, P. AND DAMM, R.: Sixteenth Symposium (International) on Combustion, p. 961, The Combustion Institute (1977).
110. LEE, J. H., MICHAEL, J. V., PAYNE, W. A. AND STIER, L. J.: *J. Chem. Phys.* **68**, 1817 (1978).
111. GROCE, A. AND TROE, J.: First Specialist Meeting (International) of the Combustion Institute, Vol. 2, p. 321, Soc. Francaise du Combustion Institute (1981).
112. HOYERMAN, K. AND WAGNER, H. G.: Oxidation Communications **2**, 259 (1982).
113. KLEIN, TH., BARNE, I., BECKER, U. H., FINK, E. H. AND ZABEL, F.: *J. Phys. Chem.* (to be published, 1985).
114. BARTELS, M., HOYERMAN, K. AND SIEVERT, R.: Nineteenth Symposium (International) on Combustion, p. 61, The Combustion Institute (1982).
115. CHAPMAN, S. AND COWLING, T. G.: "The Mathematical Theory of Non-Uniform Gases," Cambridge University Press (1970).
116. KLEIN, M. AND SMITH, F. J.: *J. Research of the NBS* **72a**, 359 (1968).
117. REED, T. M. AND GIBBINS, K. E.: "Applied Statistical Mechanics," McGraw-Hill, New York (1973).
118. MONCHICK, L., PESNER, A. N. G. AND MASOP, E. A.: *J. Chem. Phys.* **42**, 3241 (1965).
119. MAITLAND, G. C., MUSTAFA, M. AND WAKEHAM, W.: *J. Chem. Soc. Farad. Trans.* **1**, 76, 163 (1970).
120. HIRSCHFELDER, J. O., CURRIE, C. F. AND BINE, R. B.: "Molecular Theory of Gases and Liquids," John Wiley, New York (1954).
121. MASON, E. A. AND SAXENA, S. C.: *Phys. Fluids* **1**, 361 (1958).
122. HEINTZ, A.: *Ber. Bunsenges. Phys. Chem.* (to be published, 1985).
123. FAUBEL, M.: *Adv. in Atomic and Molecular Physics*, **19**, 345 (1983).
124. PACK, R. T., VALENTINI, J. J. AND CROSS, J. B.: *J. Chem. Phys.* **77**, 5486 (1982).
125. WESTBROOK, F. L., DRYER: *Comb. Flame* **37**, 171 (1980).
126. PETERS, N. AND WARNATZ, J. (Eds.): *Numerical Methods in Laminar Flame Propagation*, Vieweg, Wiesbaden (1982).
127. DIXON-Lewis, G.: *Proc. Roy. Soc. A* **307**, 11, (1968).
128. WARNATZ, J.: *Ber. Bunsenges. Phys. Chem.* **82**, 193 (1978).
129. ORAN, E. AND BORIS, J. P.: *Prog. Energy Combust. Sci.* **7**, 1-72 (1981).
130. HEIMERL, J. M. AND COFFEE, T. P.: In: N. Peters, J. Warnatz (Eds.), *Numerical Methods in Laminar Flame Propagation*, Vieweg, Wiesbaden (1982).
131. LEE, J. H. AND KNYSTANTAS, R.: *AIAA J.* **7**, 312 (1969).
132. WEINBERG, F. J. AND WILSON, J. R.: *Proc. Roy. Soc. Land. A* **321**, 41 (1971).
133. BAUER, S. H., BAR-ZIV, E. AND HABERMAN, J. A.: *IEEE J. QE* **14**, 237 (1978).
134. AVOURIS, P.: *J. Phys. Chem.* **84**, 1797 (1980).
135. SCHMIEDER, R. W.: *J. Appl. Phys.* **52**, 3001 (1981).
136. HILL, R. A. AND LAGUNA, G. A.: *Opt. Commun.* **32**, 435 (1980).
137. HILL, R. A.: *Appl. Optics* **20**, 2239 (1981).
138. AVOURIS, P., BETHUME, D. S., LANKARD, J. R., ONS, J. A. AND SONOKIN, P. P.: *J. Chem. Phys.* **74**, 2304 (1981).
139. TROTT, W. M.: *J. Appl. Phys.* **54**, 118 (1983).
140. LUCAS, D., PETERSON, R., BROWN, N. J. AND OPPENHEIM, A. K.: Lawrence Berkeley Laboratory Report 17-222 (1984).
141. WARNATZ, J.: *Ber. Bunsenges. Phys. Chem.* **82**, 193 (1978).
142. McCAA, D. J. AND SHAW, J. H.: *J. Mol. Spectrosc.* **25**, 374 (1968).
143. QUACK, M. AND SUTCLIFFE, E.: *Chem. Phys. Lett.* **99**, 167 (1982).

144. ASTHOLZ, D. C., CRUCE, A. E. AND TROE, J.: *J. Phys. Chem.* **86**, 696 (1982).
145. WARNATZ, J.: *Ber. Bunsenges. Phys. Chem.* **82**, 193 (1978).
146. KEE, R. J., MILLER, J. A. AND WARNATZ, J.: Eastern States Section Combustion Meeting, Providence, Rhode Island (to be published, 1984).
147. PETZOLD, L. R.: Proc./MACS World Conference, Montreal und: Sandia National Laboratories, Rept. SAND 82-8637.
148. DEUFELHARD, P. AND ZUCKER, J.: (to be published).
149. ADLER-GOLDEN, S. M., SCHWETZER, E. L. AND STEINFELD, J. I.: *J. Chem. Phys.* **76**, 2201 (1982).
150. HANSON, R. K., KUNTZ, P. A. AND KRUGER, C. H.: *Appl. Optics* **16**, 2045 (1977).
151. RAFFEL, B., WARNATZ, J. AND WOLFRUM, J.: *Appl. Phys. B* (to be published, 1985).
152. WARNATZ, J., WOLFF, H. AND WOLFRUM, J.: *Appl. Phys. B* (to be published, 1985).
153. DREIER, T. AND WOLFRUM, J.: Twentieth Symposium (International) on Combustion, The Combustion Institute (1984).

# ELEMENTARREAKTIONEN IN VERBRENNUNGSPROZESSEN

Der Mechanismus der Oxidation von einfachen Kohlenwasserstoffen wird beschrieben und zur Interpretation der Struktur von laminaren Vormisch- und Diffusionsflammenfronten benutzt\*. Weiterhin werden einige Konsequenzen diskutiert, die sich aus der detaillierten Kenntnis dieses Verbrennungsmechanismus ergeben. Im einzelnen besprochen werden die laminare Vormisch- und Diffusionsflammenfronten und ihr Verhalten in turbulenten Geschwindigkeitsfeldern, Rußbildung, NO-Bildung und thermisches DeNOx, Löschgängen, Fremdzündung und Selbstzündung (Motorklopfen).

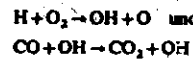
J. Warnatz, Heidelberg

## Einführung

Der Erfolg (obwohl noch viele Probleme geblieben sind) der Modellierung von einfachen Verbrennungssystemen ist im letzten Jahrzehnt aufgrund des Zusammenspiels mehrerer Voraussetzungen möglich geworden: 1) der Verfügbarkeit von Großrechnern zusammen mit der Entwicklung von Methoden zur Lösung von steifen Differentialgleichungssystemen [1; 2], 2) der Verfügbarkeit von zuverlässigen kinetischen Daten (aufgrund der Entwicklung von stark verbesserten experimentellen Methoden) über die in Verbrennungssystemen ablaufenden Elementarreaktionen aus den letzten fünfzehn Jahren (siehe z.B. [3; 4]), und 3) nicht zuletzt aufgrund der systemimmanenten Tatsache, daß der Gegenstand der Betrachtung (Kohlenwasserstoff-Verbrennung in laminaren Flammen) von nur wenigen Geschwindigkeitskoeffizienten der beteiligten Elementar-

schritte wirklich empfindlich abhängt (siehe weiter unten). Jede dieser drei Bedingungen ist dabei unverzichtbar.

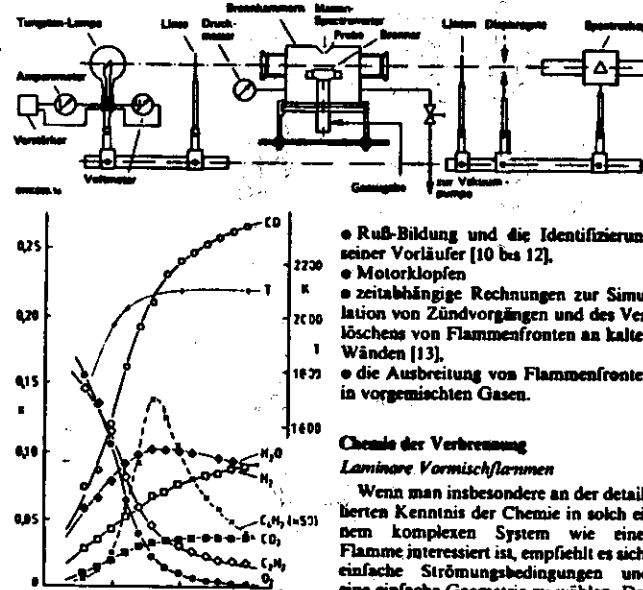
Aus früheren Arbeiten ist bekannt, daß die Ähnlichkeit von Kohlenwasserstoff-Flammen (ähnliche Flammengeschwindigkeit, ähnliche normalisierte Konzentrationsprofile von Reaktanden und Hauptprodukten [5] hauptsächlich vom Einfluß der Reaktionen



herrührt, die unspezifisch für den betrachteten Kohlenwasserstoff sind.

Trotzdem ist für realistische Rechnungen ein detaillierter Reaktionsmechanismus notwendig. Einige typische Probleme, die den Einschluß der vollen Chemie verlangen, sind z.B.:

- die Simulation der Bildung und des Verbrauchs von NO [6 bis 9],



\* Dieser Aufsatz wurde als Vortrag (vollständiger Titel: Homogene Elementarreaktionen und deren Zusammenwirken in Verbrennungsprozessen) auf dem 4. Kolloquium der Deutschen Vereinigung für Verbrennungsforschung (DVV) „Chemie der Flammen“ am 3. Oktober 1984 in Karlsruhe gehalten.

Der Autor dankt für finanzielle Unterstützung der Deutschen Forschungsgemeinschaft, der Stiftung Volkswagenwerk, des Fonds der Chemischen Industrie und (im Rahmen des TECFLAM-Projekts) der BMFT.

Wenn man insbesondere an der detaillierten Kenntnis der Chemie in solch einem komplexen System wie einer Flamme interessiert ist, empfiehlt es sich, einfache Strömungsbedingungen und eine einfache Geometrie zu wählen. Darauf soll hier zuerst das Verhalten einer laminaren flachen Flammenfront in einem vorgemischten Gas diskutiert werden, die eine eindimensionale Behandlung erlaubt. Berechnete Temperatur- und Konzentrationsprofile und Flam-

mengeschwindigkeiten können dann direkt mit experimentell bestimmten Profilen in einer flachen Flamme, Bild 1, bzw. mit experimentellen Flammengeschwindigkeiten verglichen werden. Die Temperatur in solch einem System ist dabei so hoch, daß die komplexen Phänomene der Niedertemperatur-Oxidation (siehe z.B. [14]) vernachlässigt werden können.

Für eine quantitative Interpretation der Messungen müssen die entsprechenden Erhaltungsgleichungen gelöst werden. Erhaltung der Enthalpie und der Masse der Spezies führt zu den zeitaabhängigen Gleichungen [15 bis 17]

$$\frac{\partial T}{\partial t} = -\rho v \frac{\partial T}{\partial z} + j_m \frac{\partial T}{\partial z} \quad (1)$$

$$\rho \frac{\partial w_i}{\partial t} = -\rho v \frac{\partial w_i}{\partial z} \quad (2)$$

wobei die Diffusionsflüsse  $j_m$  und der mittlere Diffusionsfluss  $j_m$  gegeben sind durch

$$j_m = -D_{LM} P \frac{\partial w_i}{\partial z} - D_{T,i} \frac{\partial \ln T}{\partial z}$$

$$j_m = \frac{E c_{p,i} j_i}{c_p} \quad (3)$$

Hierbei bedeuten  
 $A$ : Flächenverhältnis,  $c_p$ : spezifische Wärmekapazität,  $D_T$ : Thermodiffusionskoeffizient,  $E$ : spezifische Enthalpie,  $r_i$ : Bildungsgeschwindigkeit durch chemische Reaktion,  $t$ : Zeit,  $T$ : Temperatur,  $v$ : Strömungsgeschwindigkeit,  $w$ : Massenbruch,

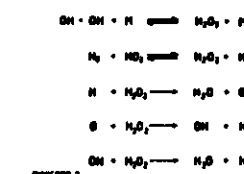
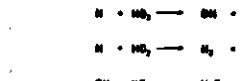
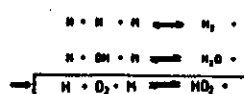
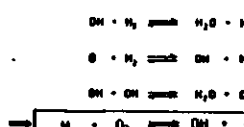


Bild 2:  $\text{H}_2\text{O}_2$ -Mechanismus (siehe Text)

z kartesische Ortskoordinate,  $\lambda$ : Wärmeleitfähigkeit der Mischung,  $\rho$ : Dichte.

Ein vereinfachtes Transportmodell

$$D_{LM} = \frac{1 - w_1}{\sum_{i=1}^n x_i / D_{L,i}}$$

$$\lambda = 0.5 \left[ \sum x_i \lambda_i + \left( \frac{x_1}{\lambda_1} \right)^{-1} \right] \quad (4)$$

(hierbei sind  $D_{ij}$ : binäre Diffusionskoeffizienten,  $x$ : Molenbruch,  $\lambda$ : Wärmeleitfähigkeit des Stoffes  $i$ ) kann benutzt werden, da der Vergleich mit Multikomponenten-Transportmodellen relativ kleine Abweichungen zeigt [16; 18 bis 20].

Wegen der Steifheit des Systems (1)-(2) von Differentialgleichungen wird zur Lösung eine implizite Methode endlicher Differenzen benutzt [15; 16; 20 bis 22].

## Mechanismus der Hochtemperaturverbrennung

Wie weiter unten gezeigt wird, spielt die Oxidation von  $\text{H}_2$  und  $\text{CO}$  eine herausragende Rolle bei der Verbrennung von Kohlenwasserstoffen. Einseitig erhält der Knallgas-Mechanismus die Kettenverzweigungsstufen zur Produktion von  $\text{H}_2$ ,  $\text{O}_2$  und  $\text{OH}$ , die dann den Kohlenwasserstoff angreifen können, Bild 2. Andererseits ist  $\text{CO}$  das Primärprodukt der Kohlenwasserstoffoxidation, das dann in einer langsamten Folgereaktion zum  $\text{CO}_2$  umgewandelt wird. Außerdem wird sich herausstellen, daß sich Kohlenwasserstoff-Flammen im Prinzip wie Knallgas-Flammen verhalten, die durch den Kohlenwasserstoff inhibiert (aber auch aufrechterhalten) werden.

Das ausführliche Schriftum über die  $\text{H}_2\text{O}_2$ -Reaktion soll hier nicht diskutiert werden, da ausführliche Zusammenfassungen vorliegen [23; 24]. Wesentlich, siehe Bild 2, ist die Konkurrenz der ausgeprägten Kettenverzweigung  $\text{H} + \text{O}_2 \rightarrow \text{OH} + \text{O}$  und der Rekombinationsreaktion  $\text{H} + \text{O}_2 + \text{M} \rightarrow \text{HO}_2 + \text{M}$ , die Kettenabbruch verursachen kann. Die erste Reaktion hat eine hohe Aktivierungsenergie (70,4 kJ/mol), so daß sie der ge-

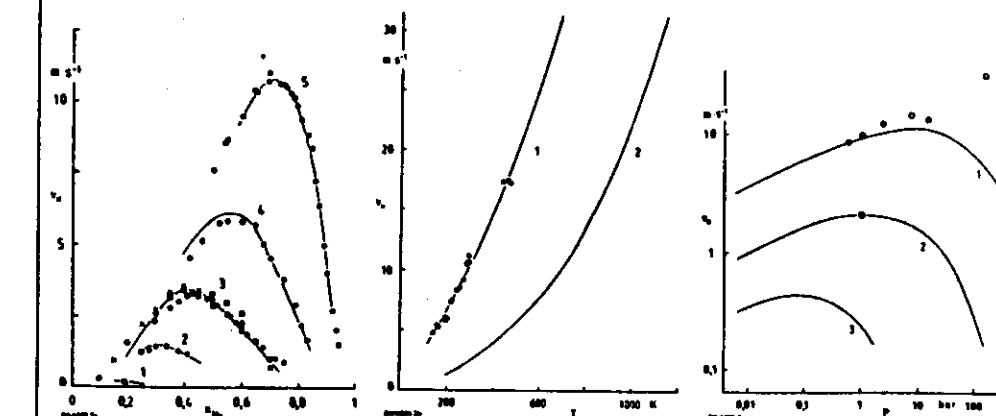


Bild 3:  $r_1$  im Knallgasystem (Punkte: Experimentelle Daten [17; 25]; Kurven: Rechnungen)

- a): Flammengeschwindigkeit  $r_1$  im  $\text{H}_2\text{O}_2\text{N}_2$ -System ( $P=1$  bar,  $T=298$  K) als Funktion der Anfangsmischung: 1:  $\text{O}_2/\text{(O}_2+\text{N}_2)=0.057$ ; 2:  $\text{O}_2/\text{(O}_2+\text{N}_2)=0.125$ ; 3:  $\text{H}_2$ -Luft; 4:  $\text{O}_2/\text{(O}_2+\text{N}_2)=0.400$ ; 5:  $\text{H}_2$ -Luft
- b): Flammengeschwindigkeit  $r_1$  in stöchiometrischen  $\text{H}_2\text{O}_2\text{N}_2$ -Mischungen ( $T=298$  K) als Funktion der FrischgasTemperatur ( $P=1$  bar): 1:  $\text{H}_2\text{O}_2$ ; 2:  $\text{H}_2$ -Luft
- c): Flammengeschwindigkeit  $r_1$  in südostmetrischen  $\text{H}_2\text{O}_2\text{N}_2$ -Mischungen ( $T=298$  K) als Funktion des Drucks: 1:  $\text{H}_2\text{O}_2$ ; 2:  $\text{H}_2$ -Luft; 3:  $x(\text{N}_2)=0.776$

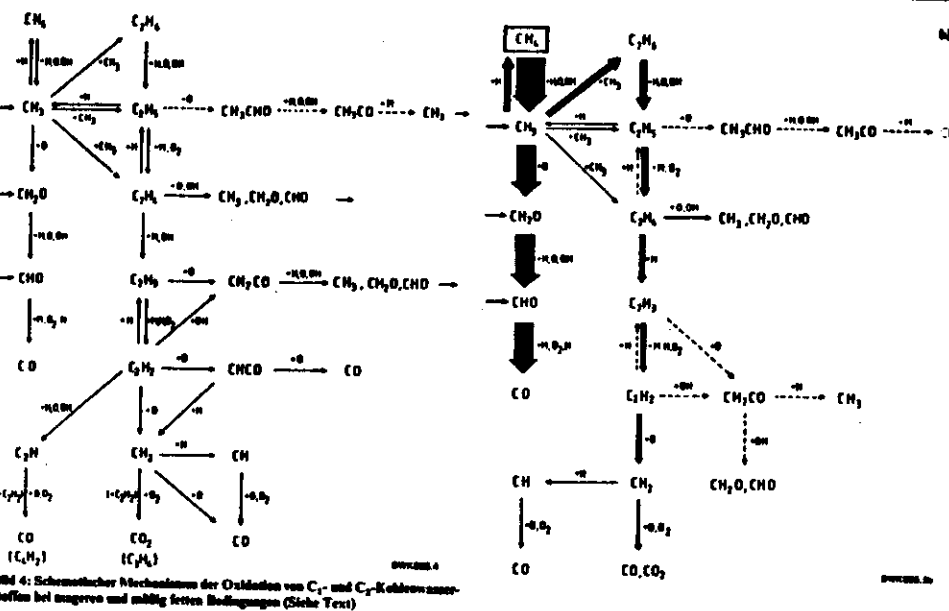


Bild 4: Schematisches Mechanismus der Oxidation von C<sub>1</sub>- und C<sub>2</sub>-Kohlenwasserstoffen bei trügerisch und mittig fetten Bedingungen (Siehe Text)

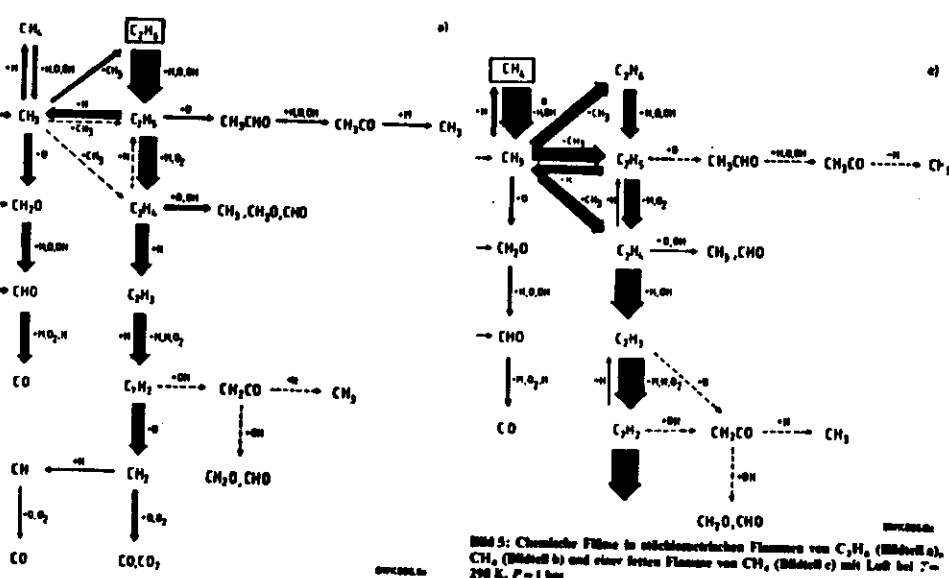


Bild 5: Chemische Flüsse in nichtgemischten Flammen von C<sub>2</sub>H<sub>6</sub> (Bildteil a), CH<sub>4</sub> (Bildteil b) und einer fetten Flamme von CH<sub>4</sub> (Bildteil c) mit Luft bei T = 296 K, P = 1 bar

schwindigkeitsbestimmende Schritt der Knallgasreaktion ist, während die zweite Reaktion einen negativen Temperaturexponenten aufweist. Da sich auch die Reaktionsordnungen unterscheiden, tritt die Verzweigung bevorzugt zu hohen Temperaturen und kleinen Drücken auf, während der Abbruch bei hohen Drücken.

Auch die Oxidation von C<sub>1</sub>- und C<sub>2</sub>-

Kohlenwasserstoffen kann heute einigermaßen gut beschrieben werden [3; 10; 15]. Bild 4 zeigt zum Beispiel, daß Methan über CH<sub>3</sub>, CH<sub>2</sub>O und CHO zum CO abgebaut wird.

Dieses einfache Bild wird jedoch durch eine beträchtliche Rekombination der CH<sub>3</sub>-Radikale zu C<sub>2</sub>-Kohlenwasserstoffen kompliziert, die dann über C<sub>2</sub>H<sub>4</sub> und C<sub>2</sub>H<sub>2</sub> zum Acetylen mit seiner komplexen Chemie abgebaut werden. Das Zwischenprodukt Acetylen ist besonders wichtig, da es sich als Schlüssel zum Verständnis der Rußbildung und der Nicht-Zeldovich-NO-Bildung erweist (siehe weiter unten).

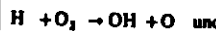
Bild 5 (Teile a bis c) zeigt noch einmal schematisch diesen Reaktionsmechanismus für einige konkrete Beispiele, wobei diesmal die chemischen Flüsse durch verschiedene dicke Pfeile wiedergegeben sind. Im Fall der Methan-Flamme ist deutlich der dramatische Einfluß des Brennstoff-Luft-Verhältnisses auf die Reaktionswege zu erkennen. Insbesondere ist gezeigt, daß die fette Methan-Verbrennung (Bildteil c) eigentlich eine Verbrennung von C<sub>2</sub>-Kohlenwasserstoffen ist [26].

Auch bei höheren Alkanen wird im ersten Reaktionschritt ein Alkyradikal gebildet, dessen Schicksal dann zu betrachten ist, Bild 6, Teil a. Es stellt sich heraus, daß diese Radikale im Gegensatz zu CH<sub>3</sub> und C<sub>2</sub>H<sub>5</sub> nicht oxidativ abgebaut werden, sondern nur thermisch zerfallen, so daß sich das relativ einfache Abbau-Schema nach Bild 6, Teil b ergibt. Bei niedrigen Temperaturen und geringen Radikalkonzentrationen (Zündprozesse!) ist außerdem die Reaktion des Alkyradikals mit O<sub>2</sub> zu berücksichtigen [27].

Mit diesem Mechanismus läßt sich dann die stationäre Flammenfortpflanzung in Brennstoff-Luft-Gemischen bis heraus zum Oktan beschreiben, wenn ein vereinfachter Abbau der Alkyradikale angenommen wird [28]; Arbeiten auch zur Beschreibung von Zündprozessen von so großen Kohlenwasserstoffen sind im Gang [29].

Beispiele von Ergebnissen mit dem hier dargestellten Mechanismus sind berechnete Flammengeschwindigkeiten für aliphatische Kohlenwasserstoffe Bild 7, und Konzentrationsprofile in einer brennstabilisierten Acetylenflamme, Bild 8.

Besonders aufschlußreich ist eine Empfindlichkeitsanalyse, bei der der Einfluß einer Variation einzelner Geschwindigkeitskoeffizienten auf das Rechenergebnis (z.B. die Flammengeschwindigkeit) geprüft wird. Ein Beispiel ist in Bild 9 wiedergegeben. Deutlich erkennt man, daß insbesondere die Reaktionen



geschwindigkeitsbestimmend sind. Auch sonst ergibt sich keine Geschwindigkeitsbeschränkung durch Reaktionen, die spezifisch für den betrachteten Brennstoff C<sub>n</sub>H<sub>2n+2</sub> sind. Dieser Befund zeigt, daß die geschwindigkeitsbestimmenden Schritte bei der Oxidation von C<sub>1</sub>- und C<sub>2</sub>-Molekülen und insbesondere im H<sub>2</sub>-O<sub>2</sub>-CO-System liegen, was die Ähnlichkeit im Verbrennungsverhalten verschiedener Brennstoffe erklärt. Darüberhinaus ist diese Tatsache auch der Grund dafür, daß weiter oben angesprochene vereinfachte globale Mechanismen für den Abbau höherer Kohlenwasserstoffe zufriedenstellend arbeiten: Nur die geschwindigkeitsbestimmenden Teile des Mechanismus müssen in Elementarreaktionen aufgelöst werden [28].

#### Laminare Diffusionsflammen

Laminare Diffusionsflammenfronten sind von besonderem Interesse als Grundbausteine von turbulenten (technischen) Flammen [31; 32]. Dementsprechend liegen im Schrifttum experiment-

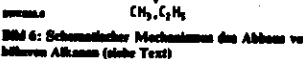


Bild 6: Schematisches Mechanismus des Abbaus von höheren Alkanen (siehe Text)

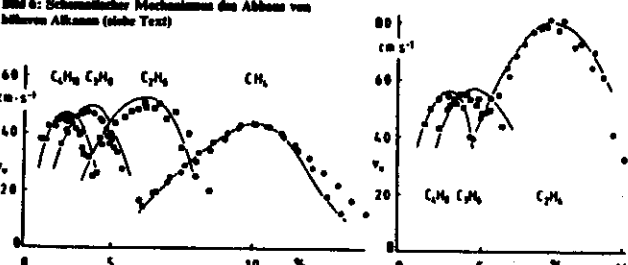


Bild 7: Flammengeschwindigkeiten in Alkan- und Alken-Luft-Mischungen (P = 1 bar, T = 296 K). Punkte: Messungen verschiedener Autoren (Eduardovics in [15]), Kurven: Simulationen, [15]

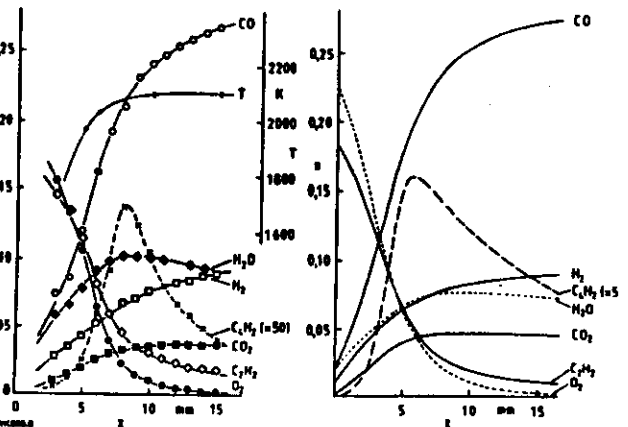
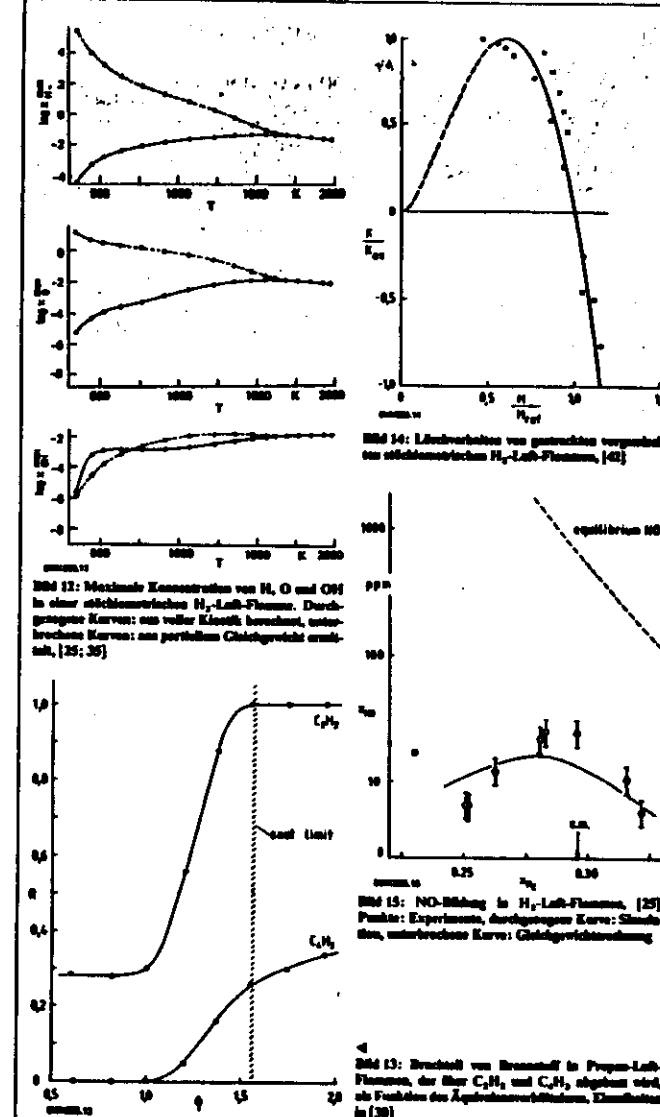
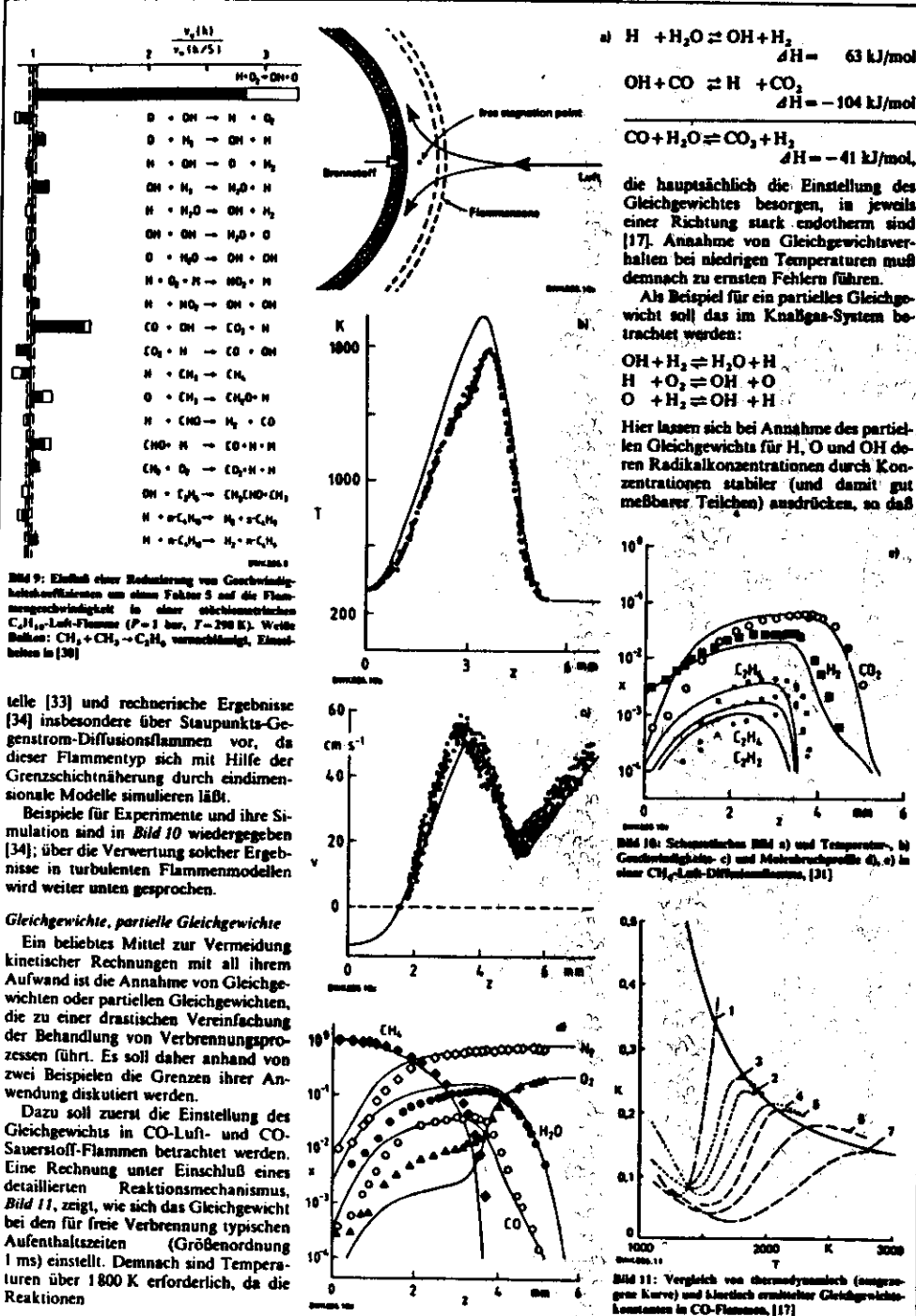


Bild 8: Molarbruchprofile in einer brennstabilisierten fetten C<sub>2</sub>H<sub>2</sub>-O<sub>2</sub>-Ac-Flamme (P = 25 mbar, T = 298 K; Punkte: Messungen, Bild 1, Kurven: Simulation, [10])

## VERBRENNUNG



sich wesentliche Vereinfachungen bei der Behandlung ergeben [25; 35].

Der Vergleich von Rechnungen mit detailliertem Mechanismus und partieller Gleichgewichts-Rechnung, Bild 12, zeigt wieder, daß bei den üblichen Aufenthaltszeiten in freien Flammen (1 ms) nur oberhalb von etwa 1800 K sich partielle Gleichgewicht einstellt. Unterhalb dieser Temperatur führt die Vereinfachung wegen zu langsamer Einstellung zu drastischen Fehlern (man beachte die logarithmische Skala).

### Rußbildung

Die Russbildung in vorgemischten Systemen ist in jedem Falle stark von der Chemie dieses Vorgangs bestimmt [36; 37]. Dabei steht besonders die Frage nach dem geschwindigkeitsbestimmenden Schritt in diesem Prozeß im Vordergrund, wobei die Hoffnung besteht, daß dieser schon in einem sehr frühen Stadium der Bildung von Russvorfäldern liegt [38].

Schlüsselreichen für die Bildung von Russ ist das Acetylen, das in fettigen Flammen aus der Reaktionsfolge

men durch Radikal-Pyrolyse [10; 15] in sehr hohen Konzentrationen gebildet wird und dessen Verbrennungsverhalten bei fetten Bedingungen deshalb ausführlich sowohl experimentell [37; 39] als auch rechnerisch [10] untersucht worden ist.

Der Aufbau größerer Moleküle, Bild 13, vollzieht sich nach dem heutigen Kenntnisstand über Diacetylen ( $\text{C}_4\text{H}_2$ ) zu den ersten Ringsystemen [40], deren genauer Bildungsmechanismus jedoch noch nicht bekannt ist.

Aus dem Ablauf der Verbrennung bei fetten Bedingungen wird klar, daß der Prozeß der Russbildung untrennbar mit der Verbrennung selbst und der unvermeidlichen Bildung von  $\text{C}_2$ -Kohlenwasserstoffen verbunden ist. Erwähnenswerte Ausnahme ist das Methanol als Brennstoff, das wegen der fehlenden Bildung von  $\text{C}_2$ -Zwischenprodukten keine Tendenz zum Russen aufweist [41].

### Technische Flammen in Brennern Chemische Reaktion in turbulenten Verbrennungsprozessen

Für die Beschreibung von turbulenten Flammen ist das Verhalten der oben behandelten Vormisch- und Diffusionsflammenfronten unter dem Einfluß der Streckung durch ein (turbulentes) Geschwindigkeitsfeld von besonderem Interesse.

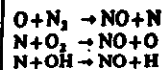
Für Vormischflammen liegen Ergebnisse vor für das  $\text{H}_2$ -Luft-System und (als recht einfaches Beispiel für einen Kohlenwasserstoff) für das Methanol-Luft-System. Im ersten Falle ergibt sich ein einfaches Lösverhalten, wie es sich auch durch analytische Behandlung mit einer Einschritt-Reaktion ergibt, Bild 14, [42], während die Kohlenwasserstoff-Flammen durch Streckung nicht gelöst werden [43].

Für Diffusionsflammen unter dem Einfluß der Streckung in einem Geschwindigkeitsfeld liegen im Schriftum ausführliche quantitative Messungen vor [33], die für Methan-Luft-Flammen durch rechnerische Simulation untersucht und interpretiert werden können [34]. Hier erscheint es möglich, die Chemie des Verbrennungsprozesses in Form einer „skalaren Dissipationsgeschwindigkeit“ (bzw. einer lokalen Damköhler-Zahl) zu extrahieren [34] und in vorhandene Modelle für turbulente Diffusionsflammen einzubauen [31; 32].

### $\text{NO}_x$ -Bildung

Die Bildung von NO im Abgas von Verbrennungsprozessen läßt sich auf drei Quellen zurückführen:

- Zeldovich-NO bei hohen Temperaturen aus der Reaktionsfolge



Diese Form der NO-Entstehung ist wegen der hohen Aktivierungsenergie der einleitenden Reaktion an hohe Temperaturen gebunden und kann z.B. in Knallgasflammen frei von störenden Einflüssen beobachtet werden [25; 44], Bild 15.

b) Nicht-Zeldovich-NO aus der fetten Verbrennung durch die Reaktion von Kohlenwasserstoff-Radikalen mit  $N_2$  (genauer Ablauf noch unbekannt), z.B.:



c) NO aus Brennstoff-Stickstoff. Die Bildung von NO ist dabei noch weitgehend ungeklärt, scheint jedoch über  $NH_3$ -Radikale und HCN zu verlaufen [45]. Es stellt sich eine komplexe Konkurrenz von NO-Reduktion und Stickstoff-Oxidation ein, bei der nur ein Bruchteil des maximal möglichen NO gebildet wird. Eine quantitative Behandlung erfordert mehr experimentelles Material, erachtet aber durch Kombination der Mechanismen von detaillierter Kohlenwasserstoff-Oxidation (siehe weiter oben) und Ammoniak-Verbrennung (siehe weiter unten) in nicht zu ferner Zukunft möglich.

#### Thermisches DeNOx

Zentraler Punkt der selektiven thermischen Reduktion von NO im Abgas von Verbrennungsprozessen [46] ist die Reaktion von  $NH_3$  mit NO [47; 48].

Dieses „DeNOx-Vorfahren“ erfordert eine Temperatur, die einerseits genügend hoch ist, so daß OH zur Bildung von  $NH_3$  (z.B. durch Abstraktion aus  $NH_3$ ) zur Verfügung steht (daher Vorhandensein von  $O_3$  notwendig), Bild 16. Andererseits muß die Temperatur genügend klein sein, so daß das zugesetzte Reduktionsmittel nicht vollständig durchoxidiert wird. Demnach arbeitet das Verfahren nur in einem Temperaturfenster, das vom  $NH_3/NO$ -Überschuss und vom Sauerstoff- und Wasserstoff-Gehalt des Abgases abhängt.

Ideal arbeitet das Verfahren bei hohem  $NH_3$ -Überschuss, Bild 17. Unter technischen Bedingungen kann kein großer  $NH_3$ -Gehalt des Abgases akzeptiert werden, so daß der Wirkungsgrad auf 50% bis 70% sinkt, wegen des niedrigen Aufwandes jedoch attraktiv bleibt. Ein Beispiel ist in Bild 18 anhand von Experimenten und Rechnungen charakterisiert (Kraftwerksteck mit 235 MW in Long Beach, CA).

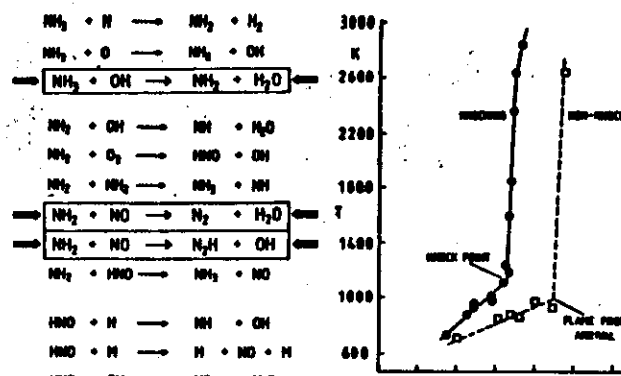
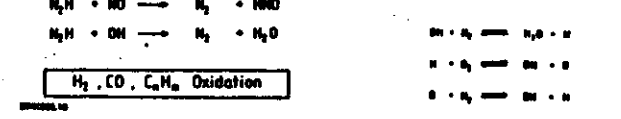


Bild 19: Raum-sphärische Darstellung der Temperatur des Endgases in einem Verbrennungsraum bei Motor- und nicht-motorischen Bedingungen, [54]



#### H<sub>2</sub>, CO, C<sub>n</sub>H<sub>n</sub> Oxidation

Bild 20: Mechanismus der Ammoniak-Oxidation, [46]

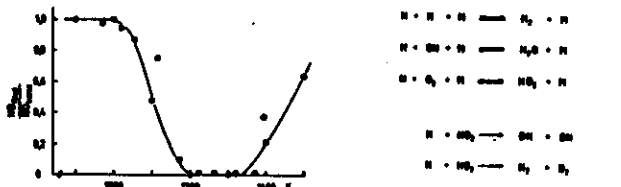


Bild 17: Selektive Reduktion von NO bei  $NH_3$ -Überschuss. Punkte: Messungen [46], Kurve: Rechnungen [29] mit einem Mechanismus ähnlich dem in [45].

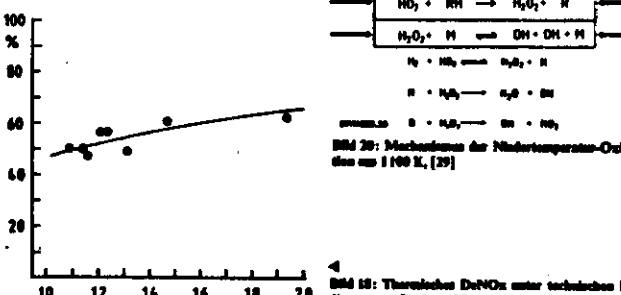


Bild 18: Mechanismus der Niedertemperatur-Oxidation von 1100 K, [29]

heutigen Wissensstand [50] etwa zur Hälfte durch Flammenlöschung in Ritz- und Spalten und zu etwa 40% auf dem Umweg über das Motoröl verursacht zu werden. Flammenlöschung auf den kalten Wänden hingegen, das lange Zeit als Hauptursache vermutet worden

Die Emission von unverbrannten Kohlenwasserstoffen bei der motorischen Verbrennung scheint nach dem

ist, wird heute als nur zu etwa 10% an diesem Vorgang beteiligt angesehen. Insbesondere Simulationen des Löscherhaltens von Flammenfronten, die senkrecht auf eine kalte Wand treffen, tragen zu diesem Urteil bei [51]. Entsprechende Simulationen von Flammenfronten, die sich parallel zur Wand bewegen, stehen (da nur durch zweidimensionale Rechnungen möglich) bisher aus. Aus demselben Grund sind Rechnungen über das Löscherhalten in Spalten bisher noch nicht möglich.

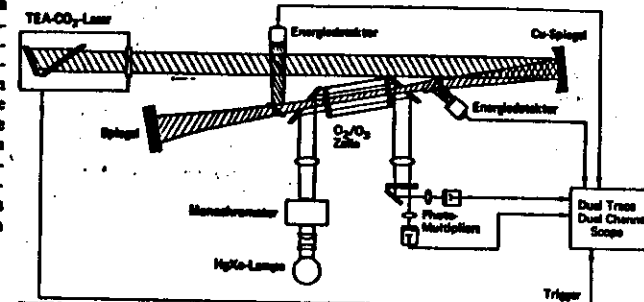


Bild 21: Schematischer Aufbau einer Anlage zur Untersuchung von thermischen Zündverzögern in einer thermischen Chemie

Aufgrund dieser Tatsachen kann die Selbstzündung des Endgases bei der motorischen Verbrennung jetzt durch einen recht einfachen Verzweigungsmechanismus beschrieben werden, der sich auf zuverlässige direkte Messungen von Elementarreaktionen im Knallgassystem abstützen kann, Bild 20.

Rechnungen bei isothermen und isobaren Bedingungen, die denen im Motor entsprechen, liefern dann Zündverzugszeiten, die das Auftreten des Klopfens erklären können [29; 55]. Verfeinerte Rechnungen müssen den zeitlichen Verlauf von Druck und Temperatur berücksichtigen und werden in Kürze vorliegen [29].

Das motorische Klopfen wird in jedem Falle stark durch die Chemie des Verbrennungsablaufes (exponentielles Wachstum eines Radikal-Pools) bestimmt, die daher schon seit Jahrzehnten intensiv diskutiert wird [52].

Neuere Messungen zeigen, daß das Endgas bei der motorischen Verbrennung sehr homogen ist, so daß eine null-dimensionale Simulation möglich sein sollte. Ein bedeutender Fortschritt der letzten Zeit besteht darin, daß es nun möglich ist, die Temperatur des unverbrannten Endgases berücksichtigt und damit zuverlässig zu messen [53; 54]. Dabei stellt sich heraus, daß diese Temperaturen zu Beginn des Klopfvorganges um etwa 1100 K herum liegen, Bild 19. Sie sind damit viel höher als die Temperaturen, bei denen das Phänomen der kalten Flammen zu beobachten ist.

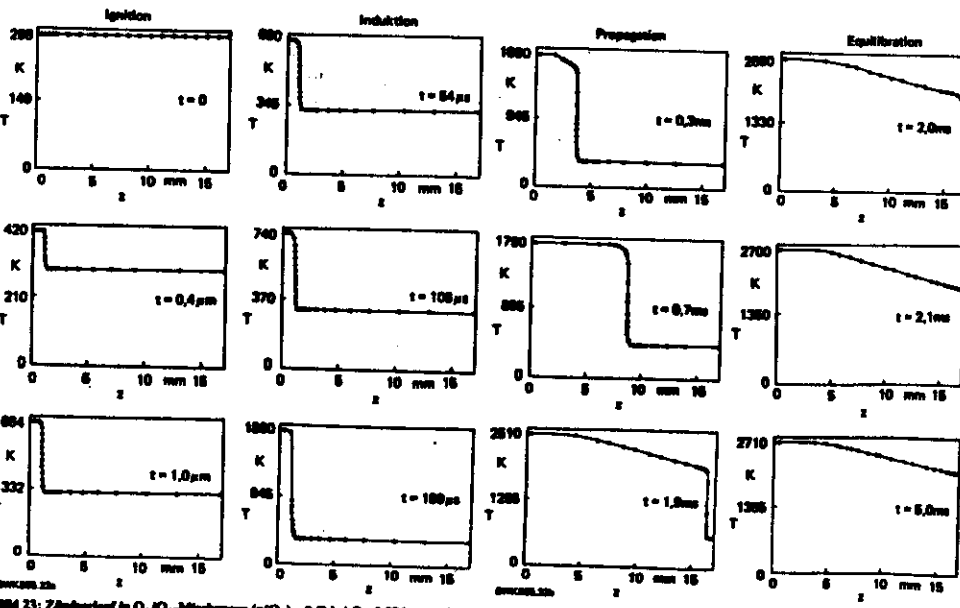


Bild 22: Mindestzündtemperatur im  $O_2/O_3$ -System. Punkte: Experimente bei  $P = 0,34$  (Quadrate) und  $P = 0,66$  bar (Kreise); schwarze Symbole bei Zündung, weiße bei Nicht-Zündung. Rechnungen: durchgezogene Kurve für  $P = 0,34$  bar, gestrichelte Kurve für  $P = 0,66$  bar

**Fremdzündung, Mindestzündenergie**

Da bisher nur Auswertung durch eindimensionale Rechnungen möglich ist, wurde eine Methode entwickelt, die die Untersuchung der laserinduzierten thermischen Zündung in einem zylindrischen Gefäß konstanten Volumens erlaubt [56; 57]. Zur Vermeidung von experimentellen (Beteiligung eines geeigneten absorbierten Teilchens) und rechnerischen (Beteiligung einer großen Anzahl von Spezies) Schwierigkeiten wurde diese Methode zuerst auf  $O_2/O$ -Mischungen angewendet.

**Bild 21** zeigt, wie der Ozon-Zerfall durch Pulse eines TEA-CO<sub>2</sub>-IR-Lasers eingeleitet wird. Das Licht wird fokussiert, so daß es einen Strahl mit einem Durchmesser von etwa 1,5 mm mit konstantem Fluß über den Strahlquerschnitt ergibt. Energiedetektoren vor und hinter dem Reaktor erlauben die Bestimmung der absorbierten Energie.

Der Ozon-Zerfall wird an zwei verschiedenen Stellen mit Hilfe von UV-Absorption verfolgt, wobei eine HgXe-Lampe und ein Monochromator verwendet werden. In einer Reihe von Experimenten kann dann z.B. die Abhängigkeit der Mindestzündenergie vom Volumen der Zündquelle, von der Zünddauer und von der Zusammensetzung des Ausgangsgemisches untersucht werden. Typische Meßergebnisse sind in **Bild 22** zusammen mit den Ergebnissen einer entsprechenden Simulation wiedergegeben.

Der Zündvorgang in dieser Versuchsanordnung kann durch die Lösung der entsprechenden zeitabhängigen eindimensionalen Erhaltungsgleichungen simuliert werden. Diese Rechnungen werden mit Hilfe einer räumlichen Diskretisierung durch endliche Differenzen ausgeführt. Dabei resultiert ein differentiell-algebraisches Gleichungssystem, das durch die Programme DASSL (Sandia National Laboratories [58] oder LIMEX (Universität Heidelberg [59]) gelöst werden kann. Es stellt sich heraus, daß der Zündprozeß, **Bild 23**, in diesem Falle als eine thermische Explosion im Zündvolumen (Zündverzugszeit etwa 1 ms) beschrieben werden kann, gefolgt von Flammenfortpflanzung ins unverbrennende Gas hinein. Berechnete Mindestzündenergien sind in **Bild 22** mit den Experimenten verglichen.

Weitere Messungen sind geplant zur Bestätigung des eindimensionalen Verhaltens dieses Experiments und zur Untersuchung von komplexeren Gemischen (z.B. Wasserstoff- und Kohlenwasserstoff-Luft).

**Schrifttum**

- [1] Sternfeld, J.O.; Curran, C.J. and Bird, R.B.: *Mechanism Theory of Gases and Liquids*. Wiley, New York (1959)
- [2] Boudelle, D.B.; Stephenson, P.L.: *Laminar Flame Propagation in Hydrogen-Oxygen Mixtures*. *Proc. Roy. Soc. A334*, 313 (1971)
- [3] Warren, J.: Survey of Rate Coefficients in the CMNO System. *J.W.C. Gord Jr. (Ed.), Chemistry of Combustion*. Academic Press, New York (1968)
- [4] Warren, J.: Survey of Rate Coefficients in the CMNO System. *Sandia Report SAND81-4000*, Sandia National Laboratories, Livermore (1983)
- [5] Peters, R.M.; Avery, W.H. and Grigorieff, C.: Kinetics of Some Hydrocarbons in Plasma Probes - Measurements of  $C_2$  Hydrocarbon-Oxygen Plumes. *7th Symposium (International) on Combustion*, 1, 381, Butterworth, London (1959)
- [6] Feuerher, C.P.: Parameters of Nitric Oxide in Premixed Hydrocarbon Plumes. *12th Symposium (International) on Combustion*, 3, 373, The Combustion Institute, Pittsburgh (1968)
- [7] Avrett, E., Anders, R.C. and Klein, M.Y.: Formation of Nitric Oxide in Flame-Lewis, P. (Ed.), *Proceedings (International) on Combustion*, 3, 767, The Combustion Institute, Pittsburgh (1977)
- [8] Berkland, F., Horst, N. and Jasz, T.: The Formation of Nitric Oxide and the Detection of HCN in Premixed Hydrocarbon-Air Plumes. *Combust. Sci. Technol.* 7, 1 (1977)
- [9] Siefert, A.F.; Price, J.H.: Kinetics of Nitric Oxide Formation in Premixed Laminar Plumes. *14th Symposium (International) on Combustion*, 3, 739, The Combustion Institute, Pittsburgh (1978)
- [10] Warren, J., Beckler, N., Miller, J. and Peters, R.W.: Kinetics of Stationary and Complicated Compositions of Acetylene-Oxygen Plumes from Non Stoichiometric to Stoichiometric. *7th Symposium (International) on Combustion*, 3, 197, The Combustion Institute, Pittsburgh (1969)
- [11] Horner, R.H.; Warren, J. and Wolfson, C.: The Kinetics of Hydrogen-Hydrocarbons in the Reaction of  $O_2$  Acetylene and Acetylene. *16th Symposium (International) on Combustion*, 3, 653, The Combustion Institute, Pittsburgh (1977)
- [12] Warren, J.: Radical Chemistry in Sooting Plumes. In: J. Labot, G. Prado (Eds.), *Soot in Combustion Systems and its Toxic Properties*, Pergamon, London (1989)
- [13] Bruneau, C.K., Anderson, R.A. and Lewis, G.A.: Kinetics of Laminar Wall Quenching. *Combust. Flame* 62, 191 (1989)
- [14] Warren, J.: Chemistry of Stationary and Non-Stoichiometric Combustions. In: R.M. Short, P. Drayford and W. Abel (Eds.), *Modelling of Chemical Reaction Systems*, Springer, Heidelberg (1981)
- [15] Warren, J.: The Structure of Laminar Alkanes, Alkenes and Alkynes. *16th Symposium (International) on Combustion*, 3, 363, The Combustion Institute, Pittsburgh (1981)
- [16] Warren, J.: Calculations of the Structure of Laminar Flame Plumes. I: Flame Velocity of Freshly Preparing Oxygen-Dissociation Plumes. *Ber. Bunsenges. Phys. Chem.* 82, 193 (1978)
- [17] Warren, J.: The Structure of Fresh Preparing and Burner-Stabilized Plumes in the  $H_2$ -CO<sub>2</sub> System. *Ber. Bunsenges. Phys. Chem.* 83, 936 (1979)
- [18] Warren, J.: Calculations of the Structure of Laminar Flame Plumes. II: Flame Velocity and Structure of Freshly Preparing Hydrogen-Oxygen and Hydrogen-Air Plumes. *Ber. Bunsenges. Phys. Chem.* 82, 643 (1978)
- [19] Miller, J.A.; Copley, T.J.: Results of a Study of Laminar Flame Propagation in a Burner-Stabilized Laminar Flame. *Proc. Roy. Soc. London A* 203 (1950)
- [20] Dyer, T.M.: Sources of Unburned Hydrogen Emissions from Homogeneous-Charge Engines. *Proc. 1st Annual Meeting IAEA Committee on Combustion*, Liverpool (1969), in Part 2
- [21] Dyer, T.M.: Influence of Transport Models and Boundary Conditions on Flame Structures. In: J. Peters, J. Warren (Eds.), *Nonstoichiometric Laminar Flame Propagation*, Wiley, Weinheim (1982)
- [22] Warren, J.: Calculation of the Structure of Laminar Flame Plumes. III: Structure of Burner-Stabilized Hydrogen-Oxygen and Hydrogen-Air Plumes. *Ber. Bunsenges. Phys. Chem.* 82, 934 (1978)
- [23] Miller, J.A.; Schmid, W. and Warren, A.: Persistence of the Structure of Virtually Equilibrated H<sub>2</sub>-F<sub>2</sub> Plumes. *Ber. Bunsenges. Phys. Chem.* 82, 943 (1978)
- [24] Andrich, D.L.; Dryford, D.E.; Horne, D.G. and Lloyd, A.C.: Evaluation Kinetic Data for High Temperature Reactions. Vol. 1, Butterworth, London (1972)
- [25] Dunn-Lewis, G.; Peters, D.J.: The Oxidation of Hydrocarbons. In: C.B. Anderson, C.J. Smith (Eds.), *Advances in Chemical Kinetics*, Vol. 17, Elsevier, Oxford (1977)
- [26] Warren, J.: Concentration-, Pressure-, and Temperature-Dependence of the Flame Velocity in Hydrogen-Oxygen-Nitrogen Mixtures. *Combust. Sci. Technol.* 20, 203 (1981)
- [27] Warren, J.: Hydrocarbon Oxidation at High Temperatures. *Proc. Roy. Soc. London A* 37, 1010 (1981)
- [28] Gord, J.W.C.; Gord, J.J.; Horst, J.M.; Warren, J.; Zelber, B.: Hydrogen-Oxygen Autoignition of Methane. *Proc. Roy. Soc. London A* 37, 1010 (1981)
- [29] Gord, J.W.C.: A Stochastic Differential Model of Turbulent Nonpremixed Combustion. *Combust. Flame* 50, 159 (1982)
- [30] Gord, J.W.C.: A Stochastic Differential Plasma. *Prog. Energy Combust. Sci.* 8, 93 (1982)
- [31] Dunn-Lewis, G.; Peters, D.J.; Miller, J.A.; Peters, R.W.; Warren, J.: Calculation of the Structure and Detonation Limit of a Methane-Air Counterflow Diffusion Flame in the Forward Stagnation Region of a Burner. *BWK* 885
- [32] Gord, J.W.C.: Diffusion Plasma Models in Nonpremixed Turbulent Combustion. *Prog. Energy Combust. Sci.* 10, 219 (1984)
- [33] Lee, S.Z.; Dyer, E.M.C.; Miller, J.A.: A Stochastic Laminar Plasma Model of Turbulent Nonpremixed Combustion. *Combust. Flame* 50, 159 (1982)
- [34] Gord, J.W.C.: Comparison of Diffusion Plasma. *Prog. Energy Combust. Sci.* 10, 219 (1984)
- [35] Dunn-Lewis, G.; Peters, D.J.; Miller, J.A.; Peters, R.W.; Warren, J.: Calculation of the Structure and Detonation Limit of a Methane-Air Counterflow Diffusion Flame in the Forward Stagnation Region of a Burner. *BWK* 885
- [36] Gord, J.W.C.: Diffusion Plasma Models in Nonpremixed Turbulent Combustion. *Prog. Energy Combust. Sci.* 10, 219 (1984)
- [37] Gord, J.W.C.; Miller, J.A.; Peters, R.W.; Warren, J.: Laminar Flame Velocities in  $H_2$ -O<sub>2</sub> Mixtures and Elimination of Reaction Fronts. *Proc. 1st Annual Meeting IAEA Committee on Combustion*, Liverpool (1969), in Part 2
- [38] Augil, B.; Warren, J.; Wolff, M.; Wolfson, J.: Laser-Thermal Diagnostics of  $H_2$ -O<sub>2</sub> Mixtures and Elimination of Reaction Fronts. *Proc. 1st Annual Meeting IAEA Committee on Combustion*, Liverpool (1969), in Part 2
- [39] Augil, B.; Warren, J.; Wolfson, J.: Verification in Vorberührung
- [40] Fried, L.R.: A Description of DAESL: A Differential-Algebraic System Solver. *Sandia Report SAND81-837*, Sandia National Laboratories, Livermore (1982), 34th ACS World Congress, Montreal (1982)
- [41] Zupet, J.; Englund, P.: Verbrennung in Verbundung
- [42] Gord, J.W.C.; Gord, J.J.; Horst, J.M.; Warren, J.; Zelber, B.: Hydrogen-Air Plumes. *Combust. Sci. Technol.* 34, 177 (1983)
- [43] Gord, J.W.C.: Diffusion Plasma Models in Nonpremixed Turbulent Combustion. *Prog. Energy Combust. Sci.* 10, 219 (1984)
- [44] Gord, J.W.C.; Gord, J.J.; Horst, J.M.; Warren, J.; Zelber, B.: Hydrogen-Air Plumes. *Combust. Sci. Technol.* 34, 177 (1983)
- [45] Gord, J.W.C.; Gord, J.J.; Horst, J.M.; Warren, J.; Zelber, B.: Hydrogen-Air Plumes. *Combust. Sci. Technol.* 34, 177 (1983)
- [46] Gord, J.W.C.; Gord, J.J.; Horst, J.M.; Warren, J.; Zelber, B.: Hydrogen-Air Plumes. *Combust. Sci. Technol.* 34, 177 (1983)
- [47] Gord, J.W.C.; Gord, J.J.; Horst, J.M.; Warren, J.; Zelber, B.: Hydrogen-Air Plumes. *Combust. Sci. Technol.* 34, 177 (1983)
- [48] Gord, J.W.C.; Gord, J.J.; Horst, J.M.; Warren, J.; Zelber, B.: Hydrogen-Air Plumes. *Combust. Sci. Technol.* 34, 177 (1983)
- [49] Gord, J.W.C.; Gord, J.J.; Horst, J.M.; Warren, J.; Zelber, B.: Hydrogen-Air Plumes. *Combust. Sci. Technol.* 34, 177 (1983)
- [50] Gord, J.W.C.; Gord, J.J.; Horst, J.M.; Warren, J.; Zelber, B.: Hydrogen-Air Plumes. *Combust. Sci. Technol.* 34, 177 (1983)
- [51] Gord, J.W.C.; Gord, J.J.; Horst, J.M.; Warren, J.; Zelber, B.: Hydrogen-Air Plumes. *Combust. Sci. Technol.* 34, 177 (1983)
- [52] Gord, J.W.C.; Gord, J.J.; Horst, J.M.; Warren, J.; Zelber, B.: Hydrogen-Air Plumes. *Combust. Sci. Technol.* 34, 177 (1983)
- [53] Gord, J.W.C.; Gord, J.J.; Horst, J.M.; Warren, J.; Zelber, B.: Hydrogen-Air Plumes. *Combust. Sci. Technol.* 34, 177 (1983)
- [54] Gord, J.W.C.; Gord, J.J.; Horst, J.M.; Warren, J.; Zelber, B.: Hydrogen-Air Plumes. *Combust. Sci. Technol.* 34, 177 (1983)
- [55] Gord, J.W.C.; Gord, J.J.; Horst, J.M.; Warren, J.; Zelber, B.: Hydrogen-Air Plumes. *Combust. Sci. Technol.* 34, 177 (1983)
- [56] Gord, J.W.C.; Gord, J.J.; Horst, J.M.; Warren, J.; Zelber, B.: Hydrogen-Air Plumes. *Combust. Sci. Technol.* 34, 177 (1983)
- [57] Gord, J.W.C.; Gord, J.J.; Horst, J.M.; Warren, J.; Zelber, B.: Hydrogen-Air Plumes. *Combust. Sci. Technol.* 34, 177 (1983)
- [58] Gord, J.W.C.; Gord, J.J.; Horst, J.M.; Warren, J.; Zelber, B.: Hydrogen-Air Plumes. *Combust. Sci. Technol.* 34, 177 (1983)
- [59] Gord, J.W.C.; Gord, J.J.; Horst, J.M.; Warren, J.; Zelber, B.: Hydrogen-Air Plumes. *Combust. Sci. Technol.* 34, 177 (1983)

# HETEROGENE REAKTIONEN BEI DER VERBRENNUNG VON KOHLE

## 1. Einleitung

Kohlen sind organische Festkörper mit mineralischen Bestandteilen in unterschiedlichen Mengen und Verwachungsgraden. Weltweit sind sie heute mit 30 % am Primärenergieaufkommen beteiligt. Sie dienen zur Erzeugung von Sekundärenergetikern wie Strom, Gas oder Kraftstoff sowie von Reduktionsmitteln und Chemikalien [1; 2], wobei die Veredlung der Kohle zu Gas und flüssigen Produkten in der Zukunft steigende Bedeutung erlangen wird [3]. Seit jeher ist die Verbrennung in Kraftwerken, Heizwerken und Einzelfeuerungen ein wichtiger Zweig der Kohlenverwendung. Ihre Grundlage und Technik waren daher stets Gegenstand von Forschung und Entwicklung. Der Stand der Verbrennung ist in neuerer Zeit von verschiedenen Autoren [4; 5] zusammengefaßt worden.

Thermogravimetrie und Spülgasreaktoren können für isotherme als auch für nicht-isotherme Temperaturführungen eingesetzt werden. Erstere läßt sich selbstverständlich auch mit einem Gasanalysegerät koppeln.

Zum Studium von Verbrennung und Pyrolyse in Flugstaubreaktoren haben sich Sonden bewährt, mit denen man an verschiedenen Stellen des Reaktionsraums Gase und Feststoffe absaugen und anhand der Gaszusammensetzung bzw. dem Kohlenstoffverlust in Abhängigkeit von Raum und Zeit Aussagen über den Verbrennungsablauf bzw. die Hohlraumstruktur des Kokskernes. Bei der Verbrennung einzelner Kohlekörper muß man also im einzelnen folgende Vorgänge unterscheiden: – Entbindung der flüchtigen Bestandteile während der Pyrolyse, – Zündung und Abbrand der flüchtigen Bestandteile, – Abbrand des Kokskernes.

Das Zusammenspiel dieser Einzelprozesse beim Ablauf der Verbrennung wird im Aufsatz\* dargestellt und auf seine Bedeutung für die Bildung von SO<sub>2</sub> und NO<sub>x</sub> aus den Elementen S und N des Brennstoffs eingegangen.

**Karl H. van Heek und  
H.-J. Mühlens, Essen**

\* Der Aufsatz wurde als Vortrag auf dem 4. Kongress der Deutschen Vereinigung für Verbrennungsforschung (DVV) „Chemie der Flammen“ am 3. Oktober 1984 in Karlsruhe gehalten.

In **Bild 22** wird nach einem kurzen Überblick über die experimentellen Methoden auf den Ablauf dieser Grundprozesse und ihre Bedeutung für die Bildung von Stickstoff- und Schwefelverbindungen verfolgt. Die entweder mit schnellen Anzeigegeräten, z.B. einem Flugzimmerspektrometer, „on-line“ [8; 9] oder unter Verwendung anderer Analysemethoden abzweigweise durchgeführt wird. Darüber hinaus lassen sich mit Kameras Zeitdecksrafaufnahmen herstellen und im Falle der Verbrennung die Kornveränderung, die Zündung und das Ende des Verbrennungsvorgangs optisch verfolgen. Schließlich sind auch Verbrennungszeiten durch Messung der Kornübertemperatur (Temperaturdifferenz zwischen Korn und Drahtnetz) bestimmt worden.

## 2. Experimentelle Methoden

Zum Studium der Pyrolyse und der Verbrennung von Kohle sind folgende experimentelle Methoden gebräuchlich [6; 7]:

\* Zu den ältesten Methoden gehört die Thermogravimetrie, bei der man den Reaktionsfortschritt kontinuierlich